

Moderne effektive Wechselwirkungen in der Kernstrukturphysik

Robert Roth

Institut für Kernphysik
Technische Universität Darmstadt



Überblick

■ Motivation

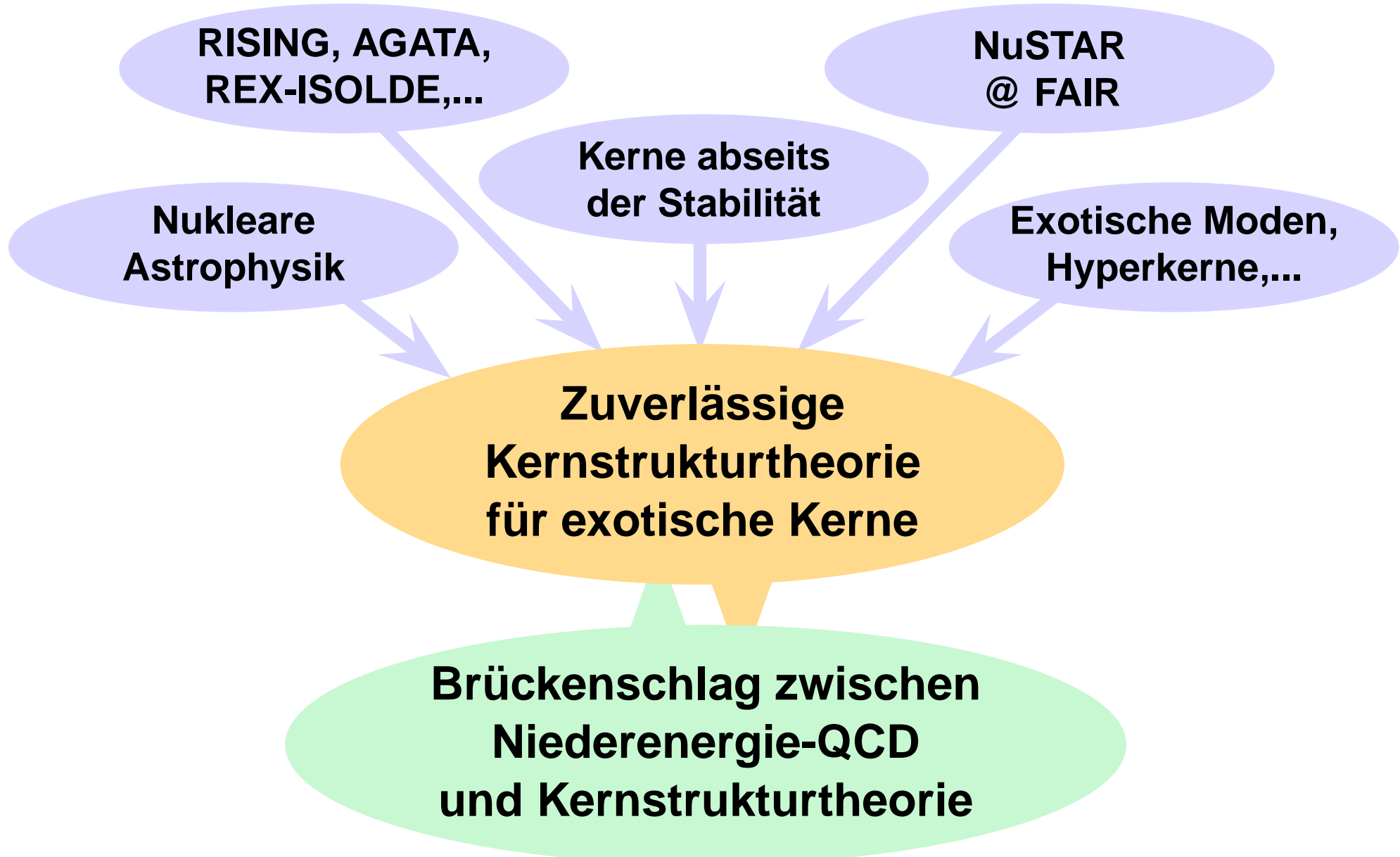
■ Moderne Effektive Wechselwirkungen

- Lee-Suzuki-Transformation
- $V_{\text{low } k}$ Renormierungsgruppenmethode
- Methode der unitären Korrelatoren (UCOM)

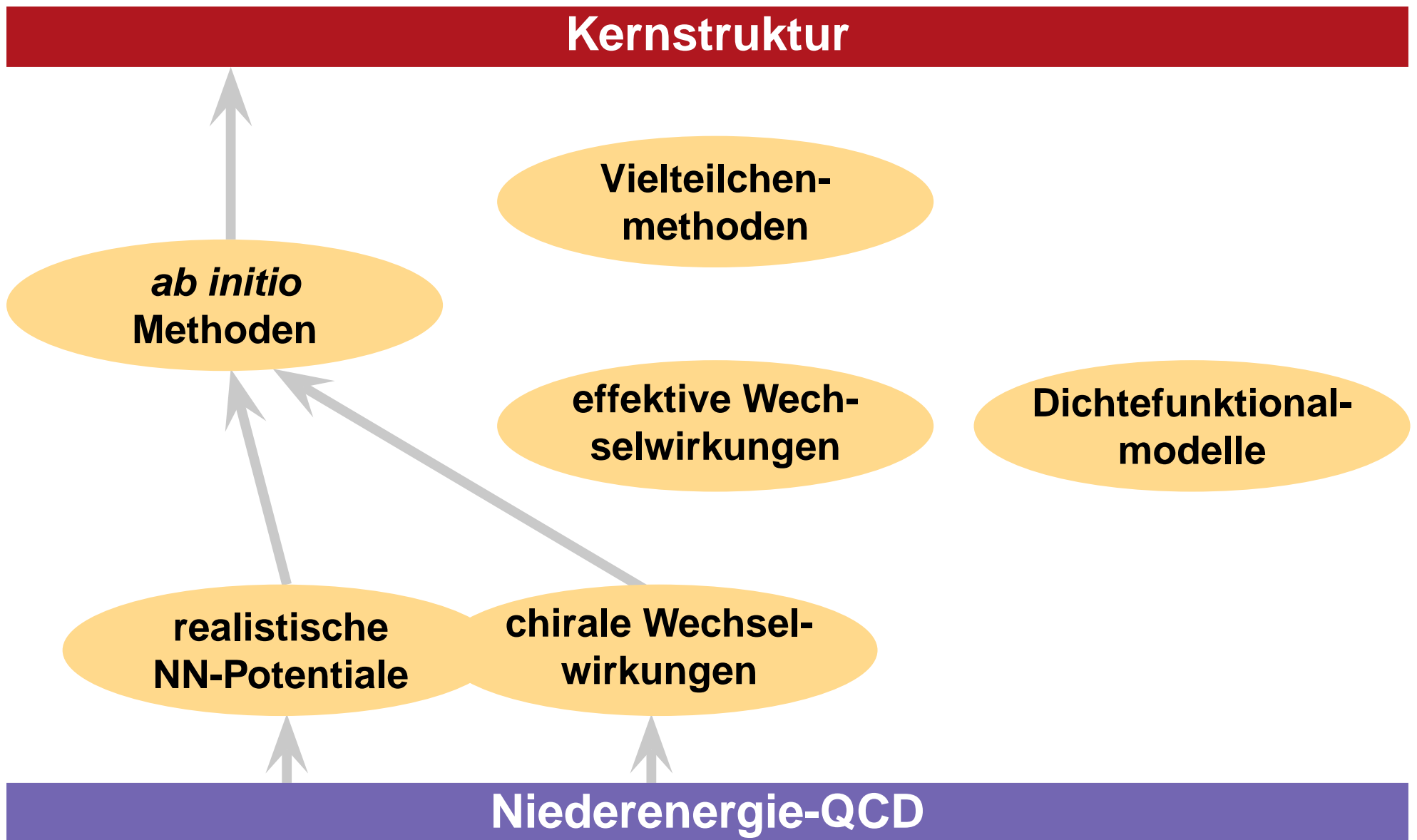
■ Anwendungen

- No-Core Schalenmodell
- Hartree-Fock etc.
- Fermionische Molekulardynamik

Aktuelle Herausforderungen



Moderne Kernstrukturtheorie



Realistische NN-Potentiale

■ QCD motiviert

- Symmetrien, Mesonen-Austausch-Bild
- chirale effektive Feldtheorien

Argonne V18

■ kurzreichweitige Phänomenologie

- kurzreichw. Parametrisierung / Kontaktterme

CD Bonn

Nijmegen I/II

Chiral N3LO

■ experimentelle NN-Streudaten

- Streuphasen & Deuteroneigenschaften mit hoher Genauigkeit reproduziert

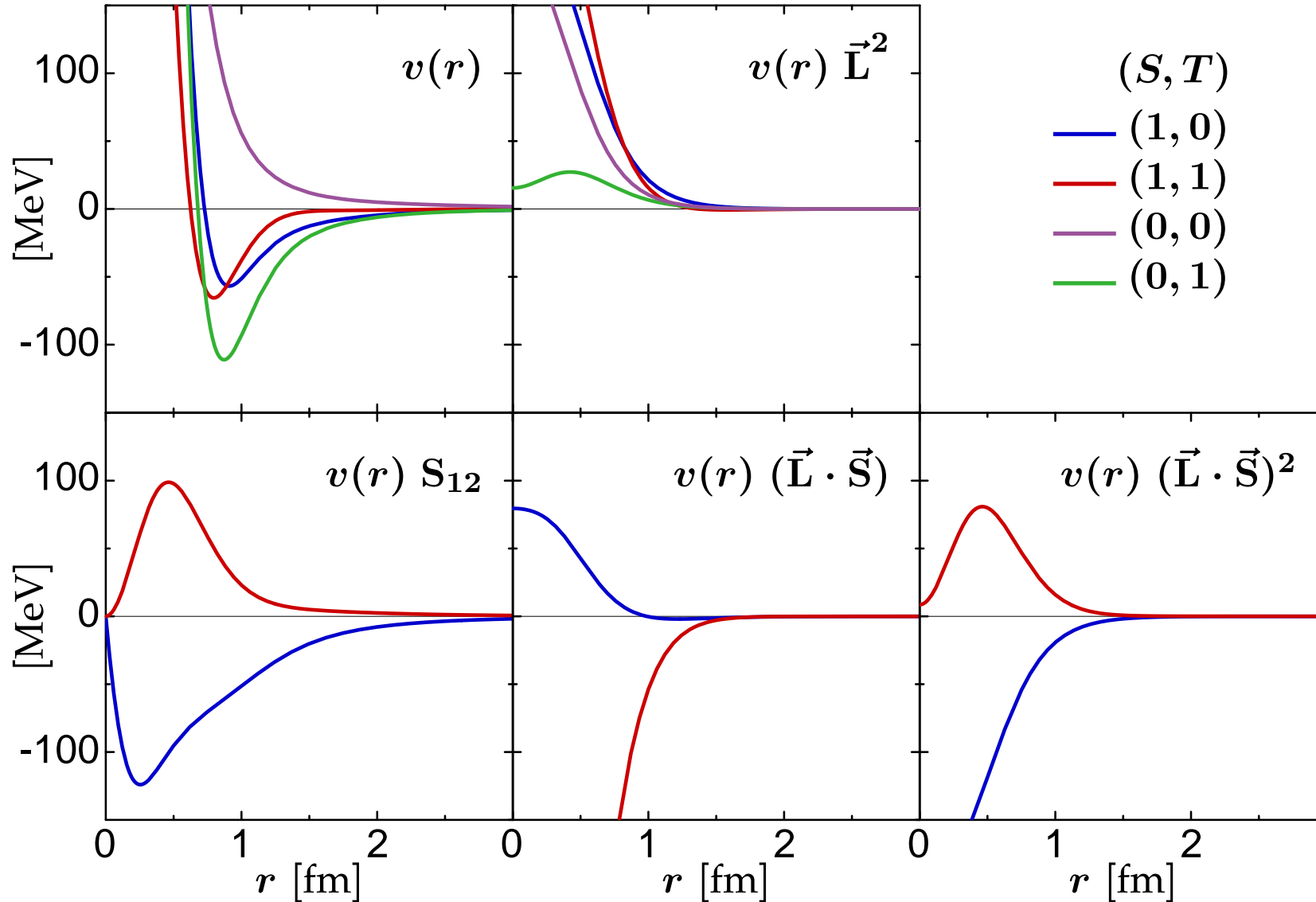
Argonne V18 +
Illinois 2

■ ergänzende Dreiteilchenkraft

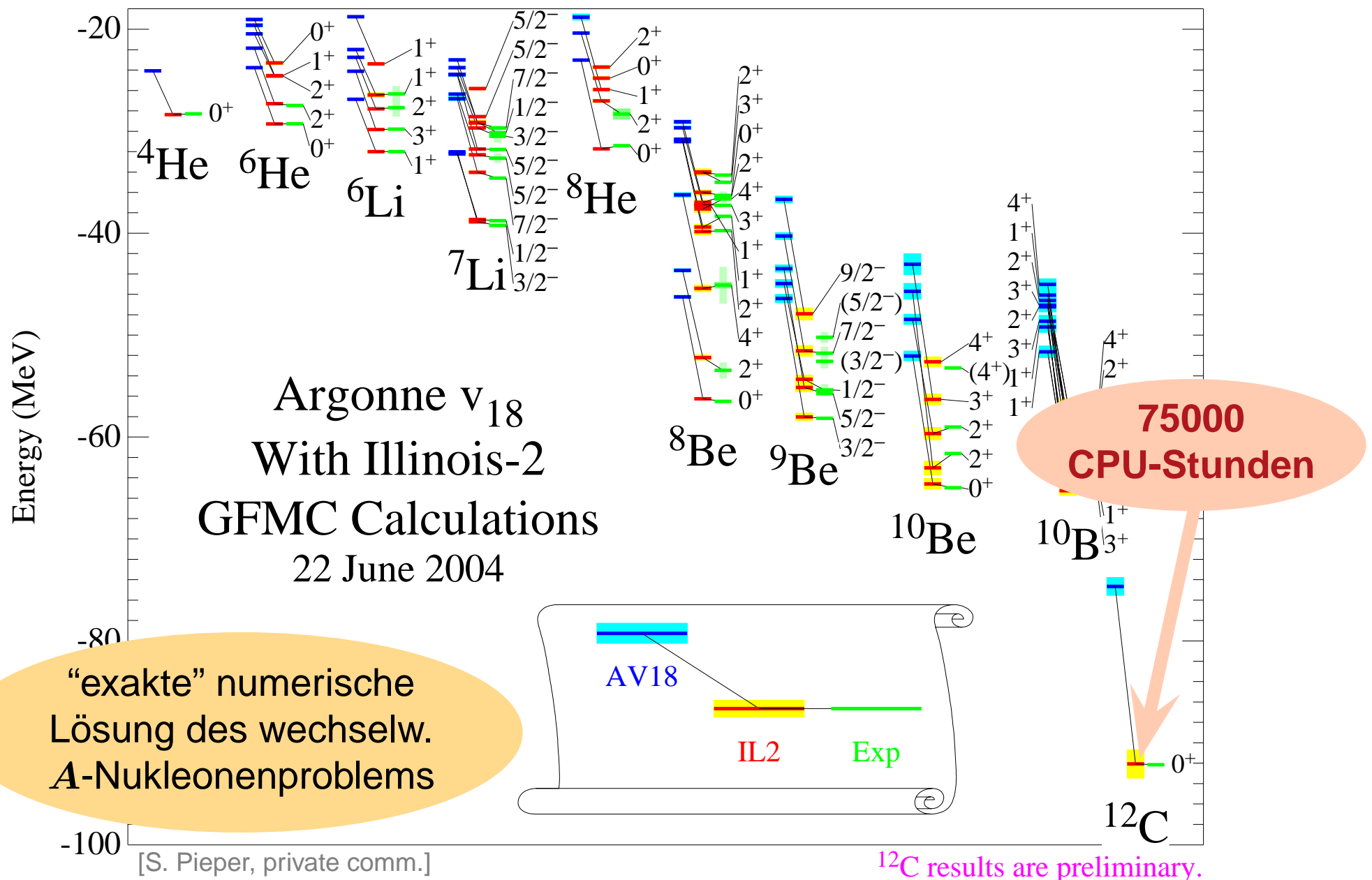
- angepaßt an Spektren leichter Kerne

Chiral N3LO +
N2LO

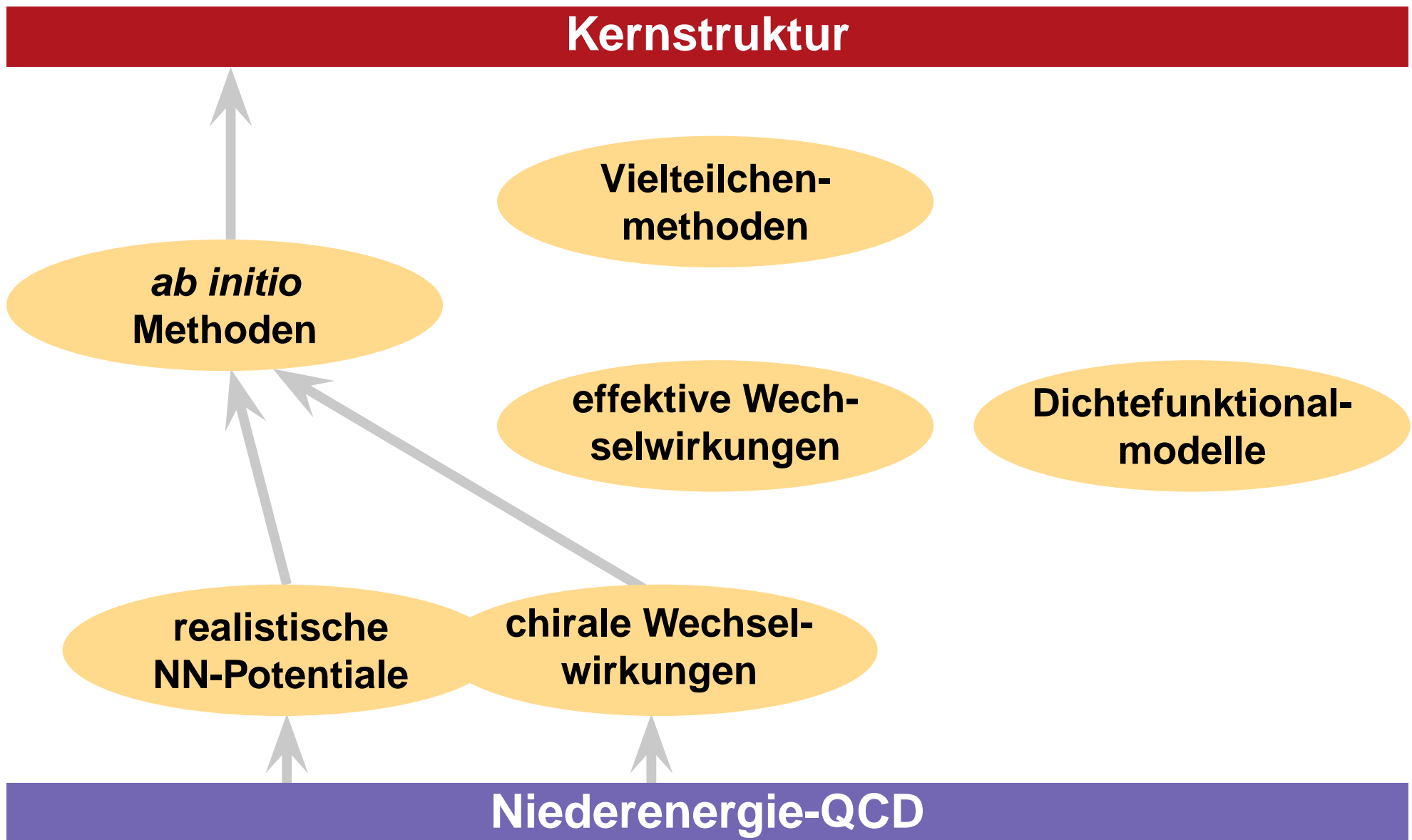
Argonne V18 Potential



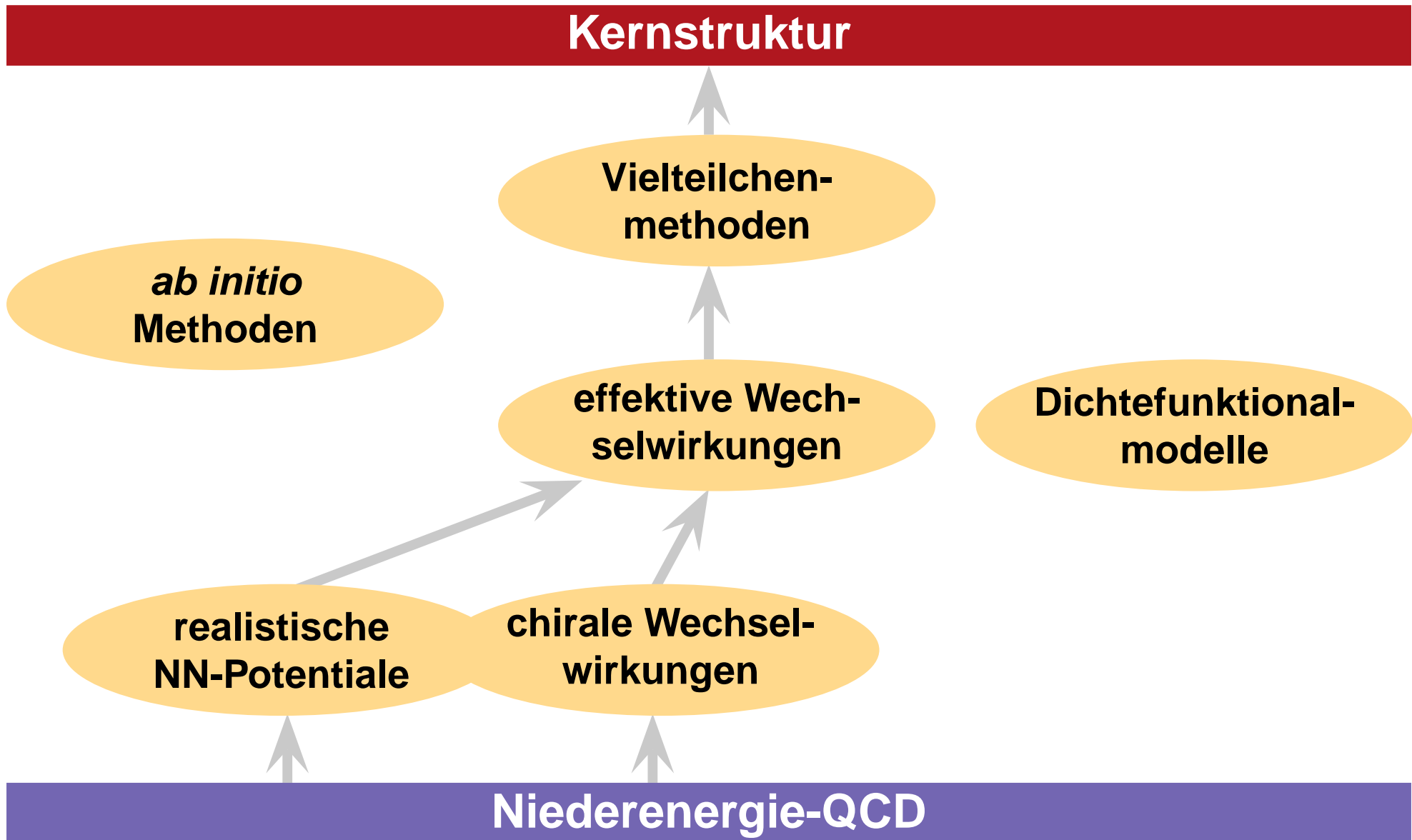
Ab initio Methoden: GFMC



Moderne Kernstrukturtheorie



Moderne Kernstrukturtheorie



Warum Effektive Wechselwirkungen?

Realistische NN-Potentiale

- erzeugen starke Korrelationen im Vielteilchenzustand
- kurzreichweitige Zentral- & Tensorkorrelationen sind dominant

Vielteilchenmethoden

- angewiesen auf eingeschränkten Modellraum für $A > 12$
- können kurzreichweitige Korrelationen nicht beschreiben
- Extrem: Hartree-Fock basiert auf einzelner Slaterdeterminante

Moderne Effektive Wechselw.

- Anpassung des realistischen Potentials an verfügbaren Modellraum
- Erhaltung der exp. bestimmten Eigenschaften (Streuphasen)



Traditionelle Effektive Wechselwirkungen

■ Effektive Schalenmodell-Wechselwirkungen

- rein phänomenologische Fits der Matrixelemente für gewisse Modellräume
- Konstruktion mittels Folded-Diagram-Entwicklungen und G-Matrix ausgehend von realistischem Potential

■ Effektive Mean-Field-Wechselwirkungen

- phänomenologische Fits von Potentialen oder Kontaktkräften (Gogny Potential / Skyrme Kraft)
- G-Matrix basierend auf realistischem Potential

Moderne Effektive Wechselwirkungen

■ Lee-Suzuki-Transformation

- Ähnlichkeitstransformation zur vollständigen Entkopplung von gewähltem P - und Q -Raum (meist Schalenmodell)

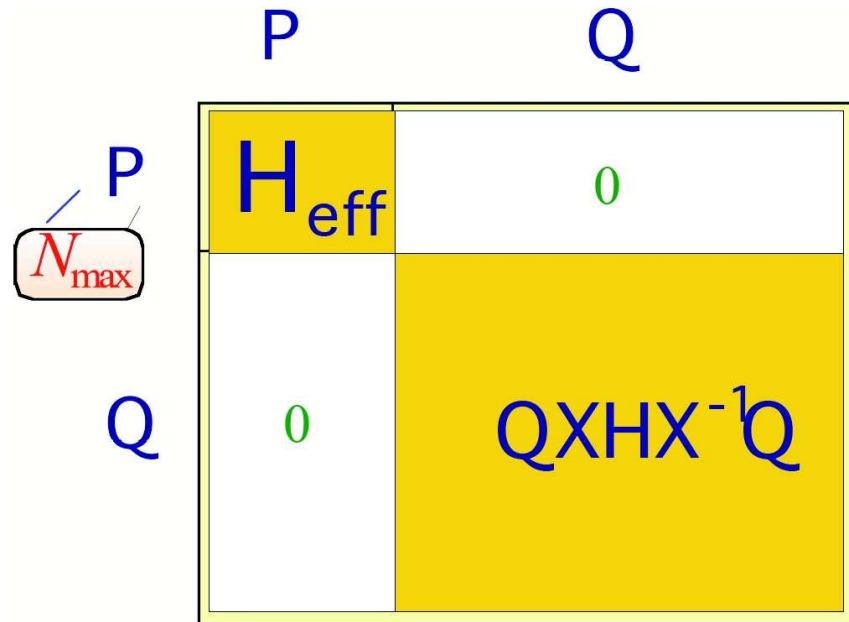
■ V_{lowk} Renormierungsgruppenmethode

- Renormierungsgruppendedezimierung der Wechselwirkung auf niedrige Impulskomponenten

■ Methode der unitären Korrelatoren

- unitäre Transformation zur direkten Beschreibung von kurzreichweitigen Zentral- und Tensorkorrelationen

Lee-Suzuki-Transformation



$$H_{\text{eff}} = P X H X^{-1} P$$
$$0 = Q X H X^{-1} P$$

- Entkopplungsgleichung definiert Matrixelemente der Transformation X bzgl. gegebener Basis

- eff. Modellraum-Ww. **in Form von Matrixelementen** definiert
- prinzipiell auch für **effektive Operatoren** geeignet (extrem aufwendig)
- effektive Größen **hängen von Basis und Modellraum** ab

$V_{\text{low}k}$ Renormierungsgruppenmethode

$$T(k', k; k^2) = V_{\text{bare}}(k', k) + \frac{2}{\pi} \mathcal{P} \int_0^\infty dp p^2 \frac{V_{\text{bare}}(k', p) T(p, k; k^2)}{k^2 - p^2}$$



Dezimierung auf Niederimpulsraum

$$T(k', k; k^2) = V_{\text{low}k}(k', k) + \frac{2}{\pi} \mathcal{P} \int_0^\Lambda dp p^2 \frac{V_{\text{low}k}(k', p) T(p, k; k^2)}{k^2 - p^2}$$

- universelle, **streuphasenäquivalente Niederimpulswechselwirkung** bis zum Cutoff Λ definiert
- explizite **phänomenologische Dreiteilchenwechselw.** notwendig
- technisch äquivalent zu Lee-Suzuki im Impulsraum (Q-Raum-Ww. wird verworfen)

Unitary Correlation Operator Method (UCOM)

Methode der unitären Korrelatoren

Korrelationsoperator

erzeuge kurzreichweitige Korrelationen
durch unitäre Transformation bzgl. der
Relativkoordinaten aller Teilchenpaare

$$C = \exp[-iG] = \exp\left[-i \sum_{i < j} g_{ij}\right]$$

$$G^\dagger = G$$
$$C^\dagger C = 1$$

korrel. Zustände

$$|\tilde{\psi}\rangle = C |\psi\rangle$$

korrel. Operatoren

$$\tilde{O} = C^\dagger O C$$

$$\langle \tilde{\psi} | O | \tilde{\psi}' \rangle = \langle \psi | C^\dagger O C | \psi' \rangle = \langle \psi | \tilde{O} | \psi' \rangle$$

Zentral- und Tensorkorrelator

$$\mathbf{C} = \mathbf{C}_\Omega \mathbf{C}_r$$

Zentralkorrelator \mathbf{C}_r

- radiale abstandsabhängige Verschiebung in der Relativkoordinate zweier Nukleonen

$$\mathbf{g}_r = \frac{1}{2} [s(\mathbf{r}) \mathbf{q}_r + \mathbf{q}_r s(\mathbf{r})]$$

$$\mathbf{q}_r = \frac{1}{2} [\frac{\vec{\mathbf{r}}}{\mathbf{r}} \cdot \vec{\mathbf{q}} + \vec{\mathbf{q}} \cdot \frac{\vec{\mathbf{r}}}{\mathbf{r}}]$$

Tensorkorrelator \mathbf{C}_Ω

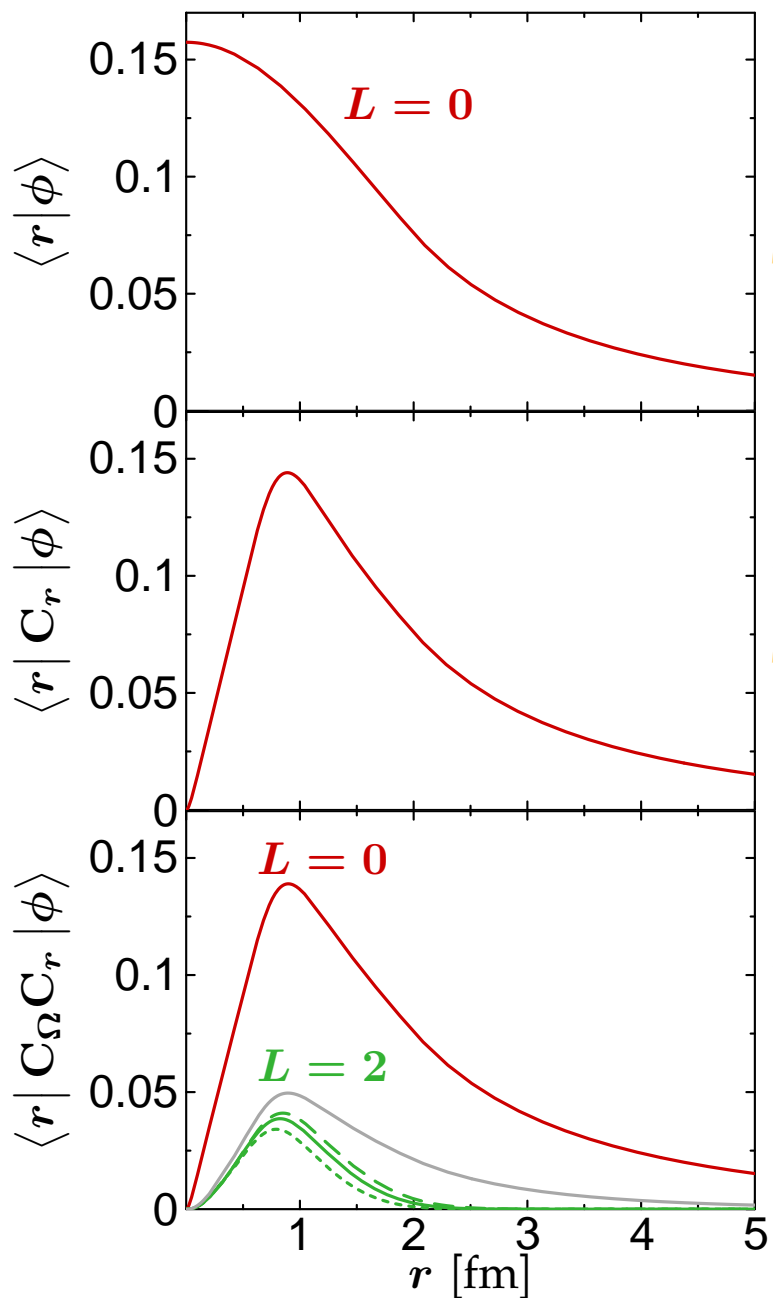
- tangentiale Verschiebung in Abhängigkeit von der relativen Orientierung von Spin und Relativkoordinate

$$\mathbf{g}_\Omega = \frac{3}{2} \vartheta(\mathbf{r}) [(\vec{\sigma}_1 \cdot \vec{\mathbf{q}}_\Omega) (\vec{\sigma}_2 \cdot \vec{\mathbf{r}}) + (\vec{\mathbf{r}} \leftrightarrow \vec{\mathbf{q}}_\Omega)]$$

$$\vec{\mathbf{q}}_\Omega = \vec{\mathbf{q}} - \frac{\vec{\mathbf{r}}}{\mathbf{r}} \mathbf{q}_r$$

$s(r)$ und $\vartheta(r)$
für gegebenes Potential im
Zweiteilchensystem bestimmt

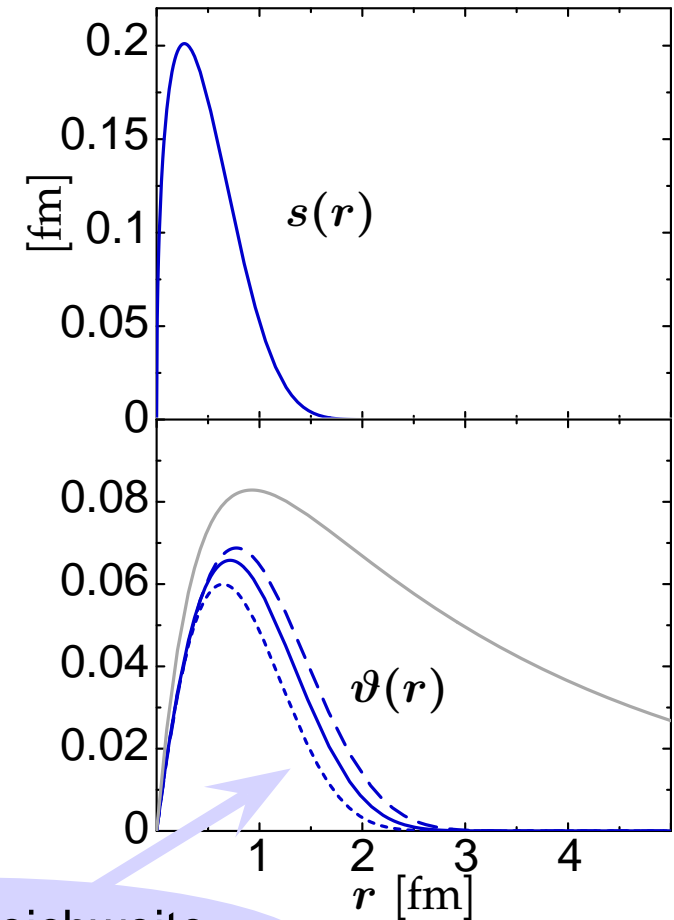
Korrelierte Zustände: Das Deuteron



Zentral-korrelationen

Tensor-korrelationen

reduzierte Reichweite
des Tensorkorrelators

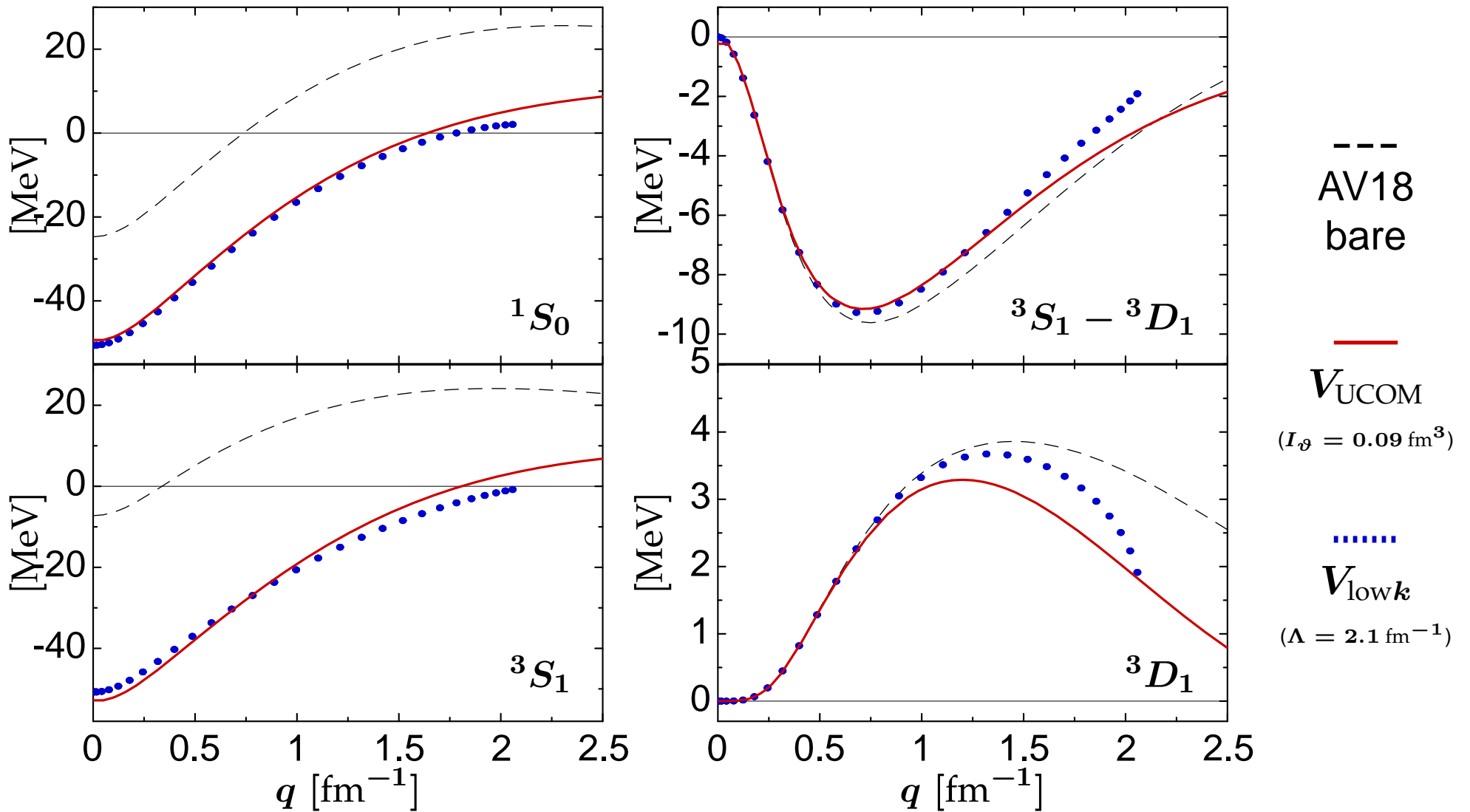


Korrelierte Wechselwirkung — V_{UCOM}

$$\tilde{\mathbf{H}} = \mathbf{T} + \mathbf{V}_{\text{UCOM}} + \mathbf{V}_{\text{UCOM}}^{[3]} + \dots$$

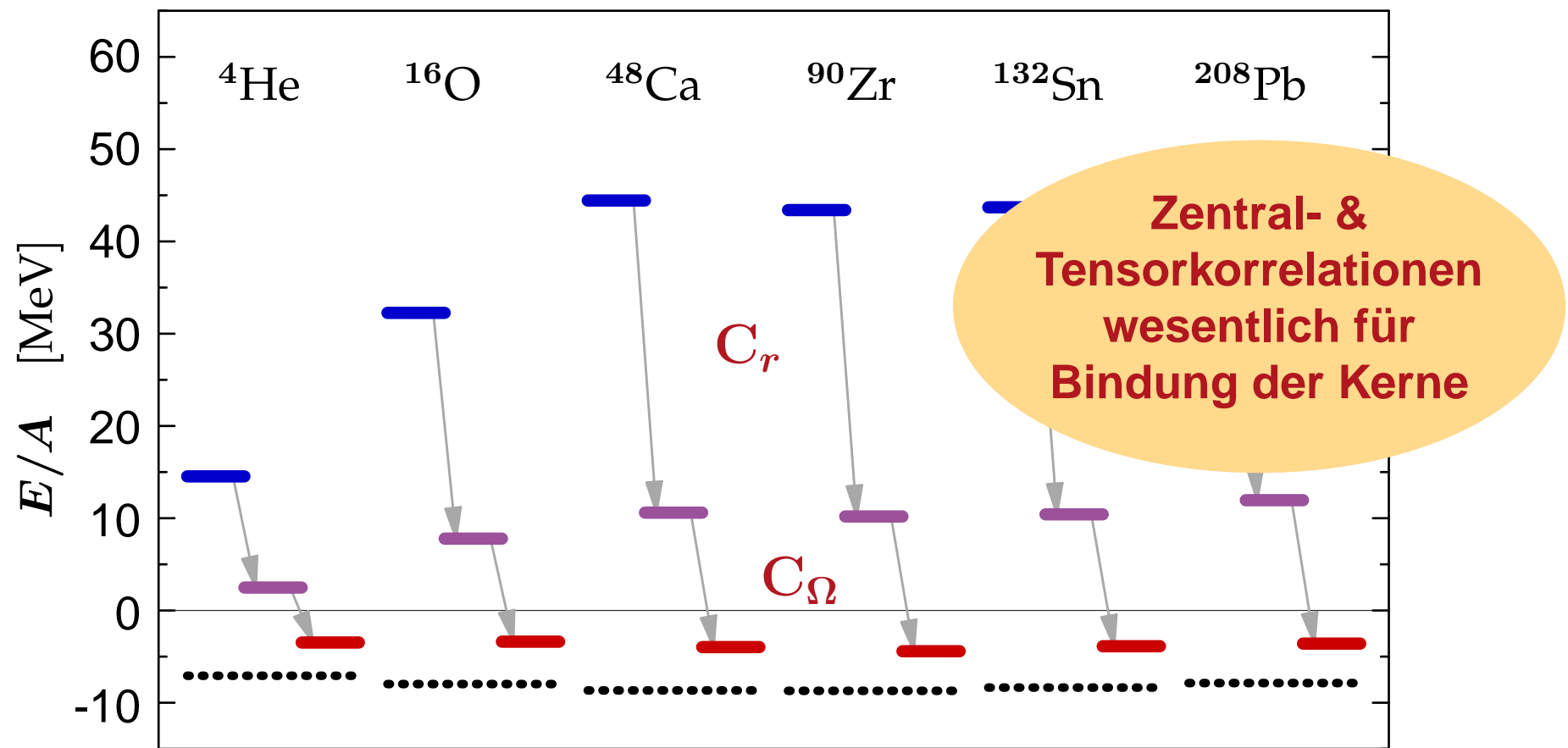
- **geschlossene Operatordarstellung** der korrelierten Wechselwirkung \mathbf{V}_{UCOM} in Zweiteilchennäherung
- korrelierte Ww. und Ausgangswechselwirkung sind per Konstruktion **streuphasenäquivalent**
- Impulsraummatrixelemente **ähnlich** $V_{\text{low}k}$
- konsistente **korrelierte Operatoren** (Übergangsoperatoren, Besetzungszahlen, etc.) leicht konstruierbar

Vergleich mit $V_{\text{low}k}$



Simplistisches “Schalenmodell”

- Erwartungswert des Hamiltonian (mit AV18) für Slaterdeterminante aus harmonischen Oszillatorkontinuumen



Anwendung I

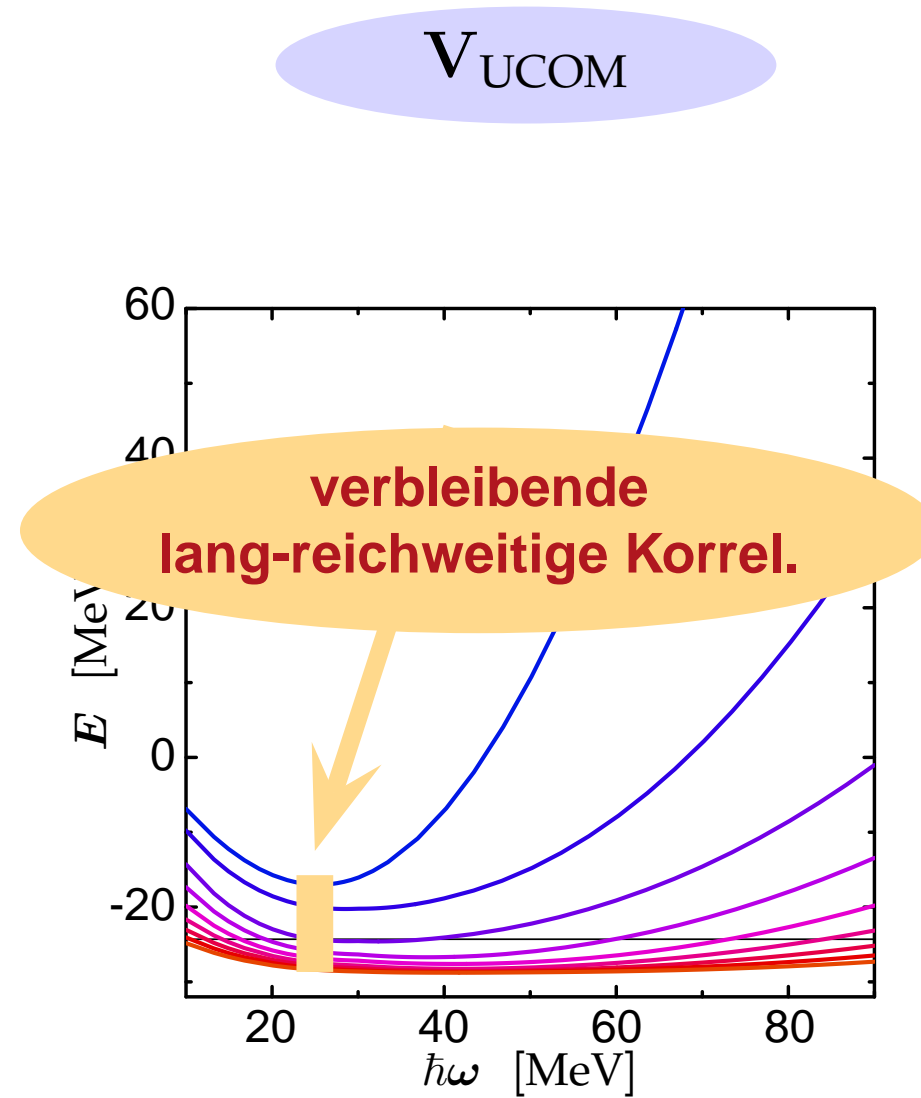
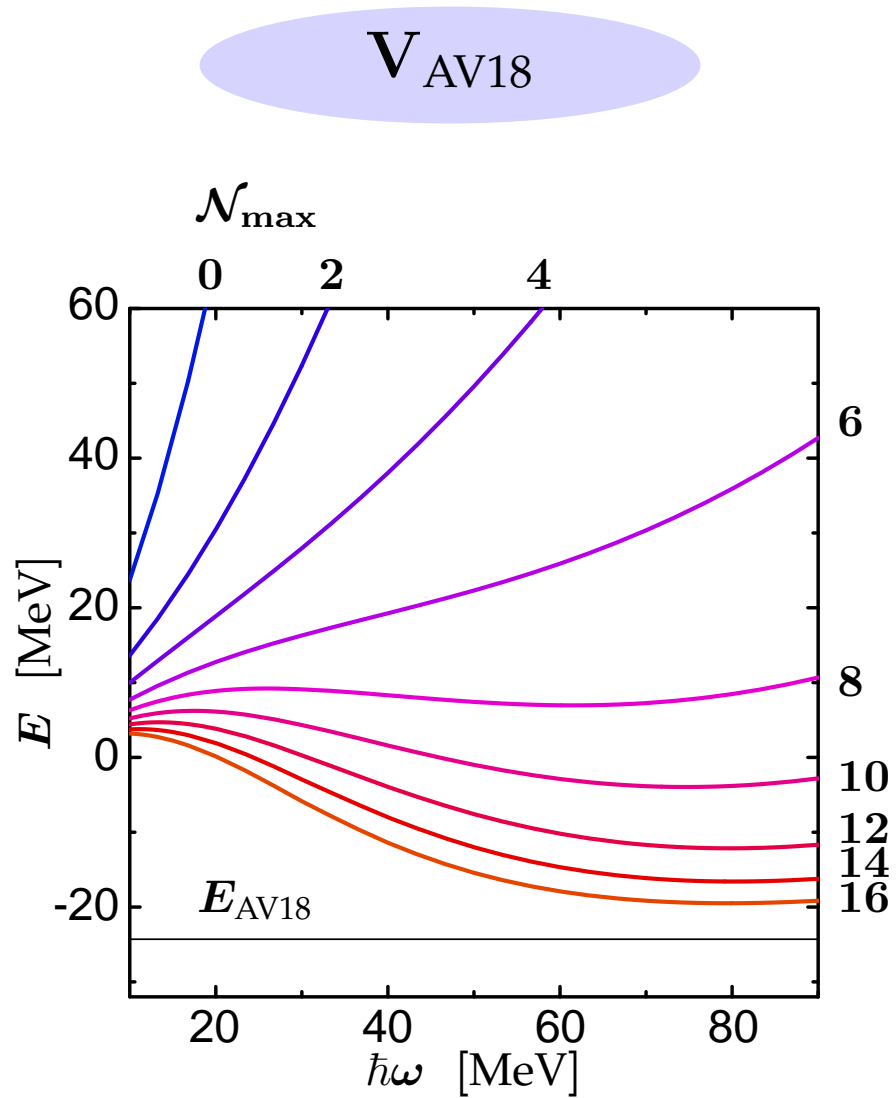
No-Core Schalenmodell

No-Core Schalenmodell
+
**Matrixelemente der korrelierten
Wechselwirkung V_{UCOM}**

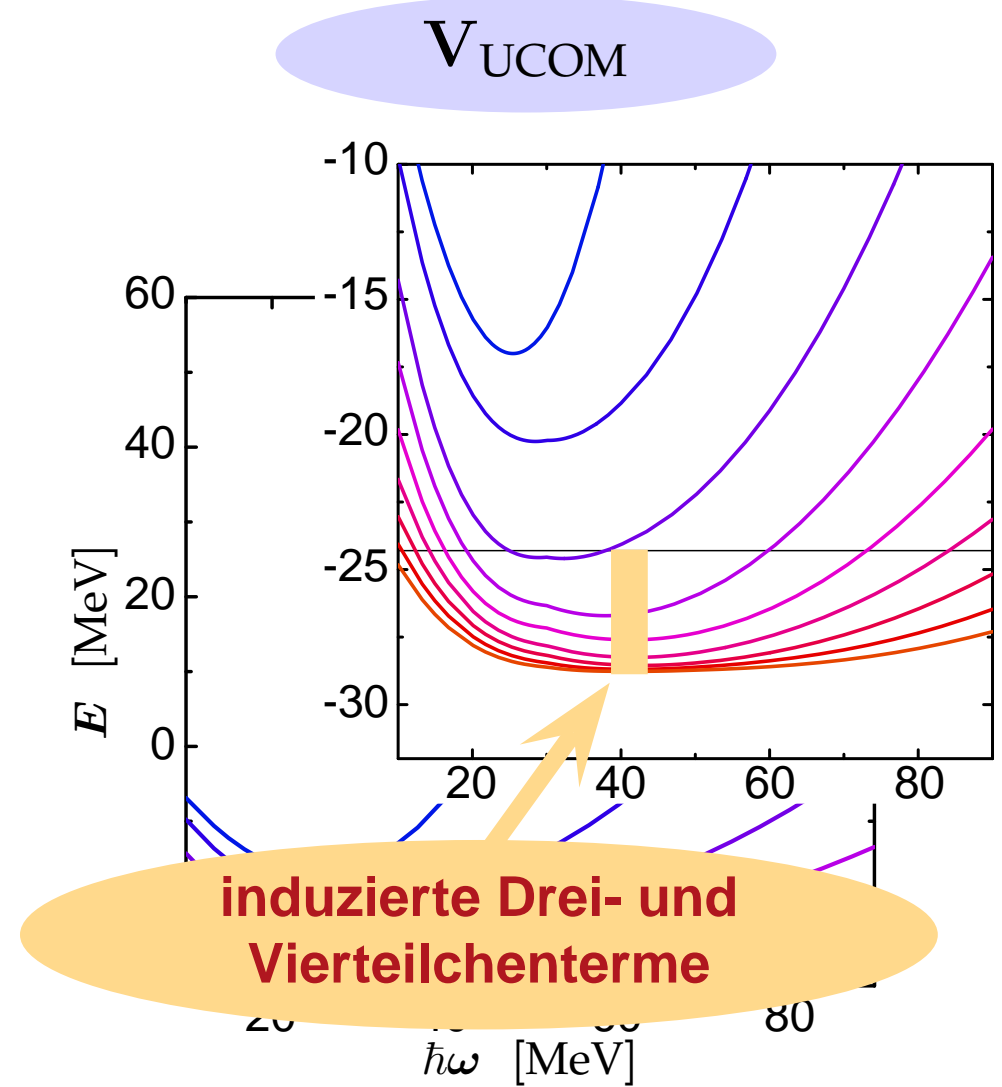
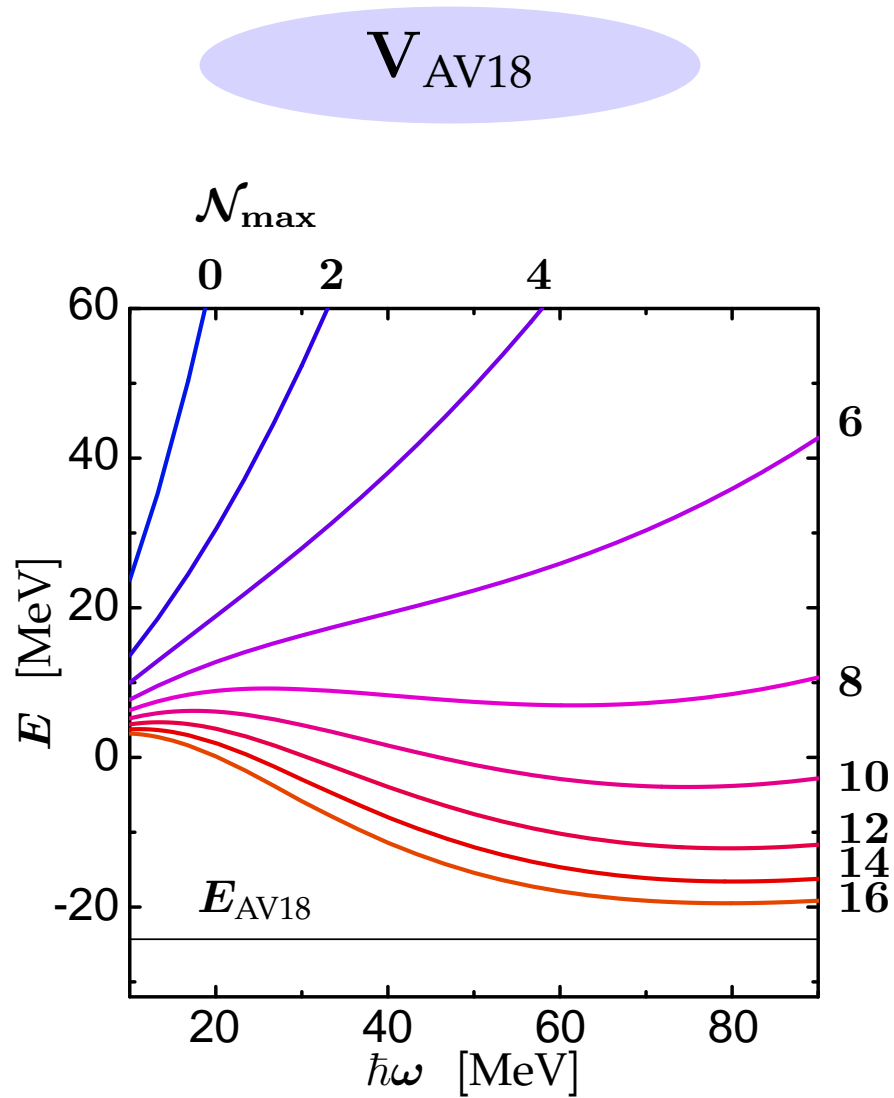
- Vielteilchenzustand ist entwickelt in Slaterdeterminanten von Einteilchenzuständen des harmonischen Oszillators
- großskalige Diagonalisierung des Hamiltonian in einem trunkierten Vielteilchenraum ($\mathcal{N}\hbar\omega$ -Trunkierung)
- Bewertung von kurz- und langreichweitigen Korrelationen

NCSM-Code von Petr Navrátil [PRC 61, 044001 (2000)]

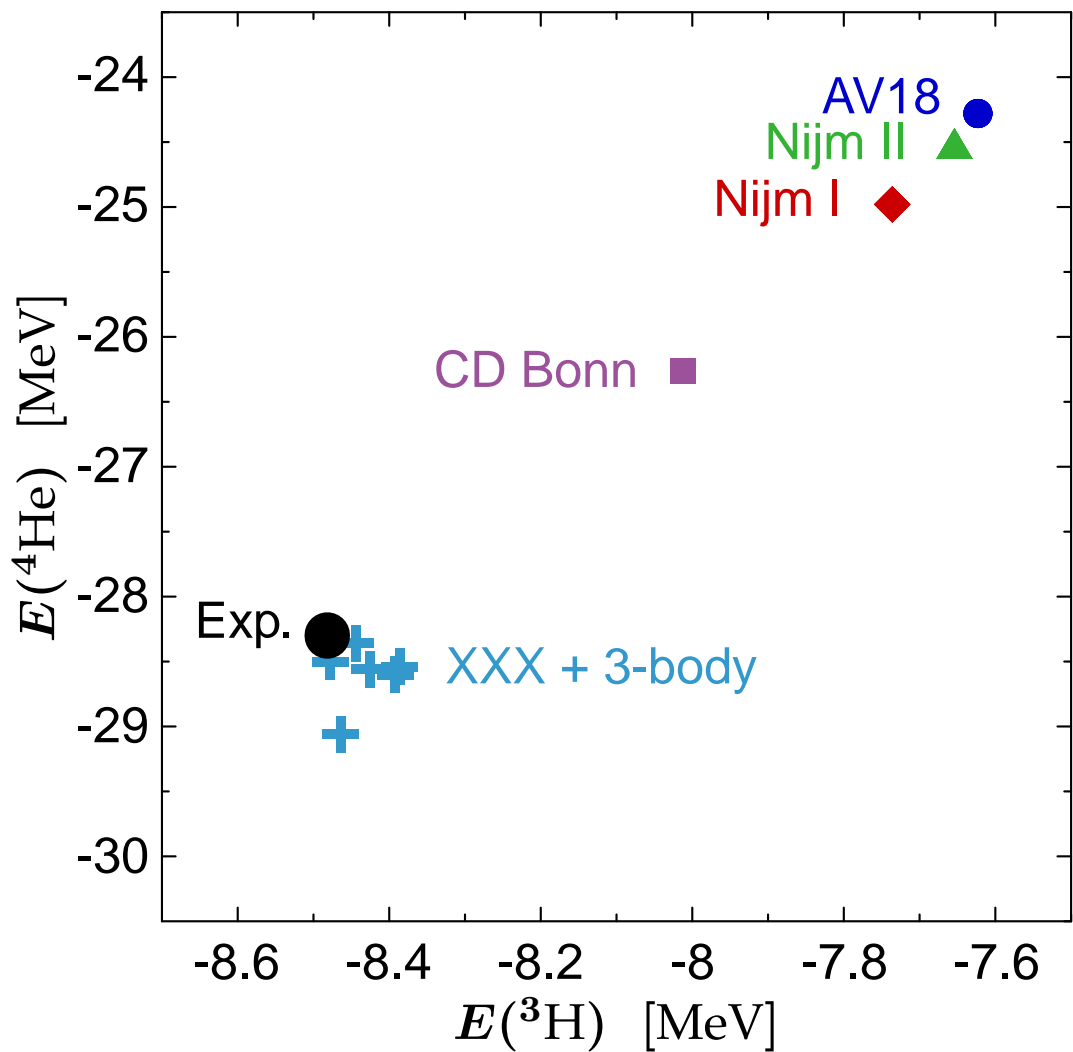
^4He : Konvergenz



^4He : Konvergenz

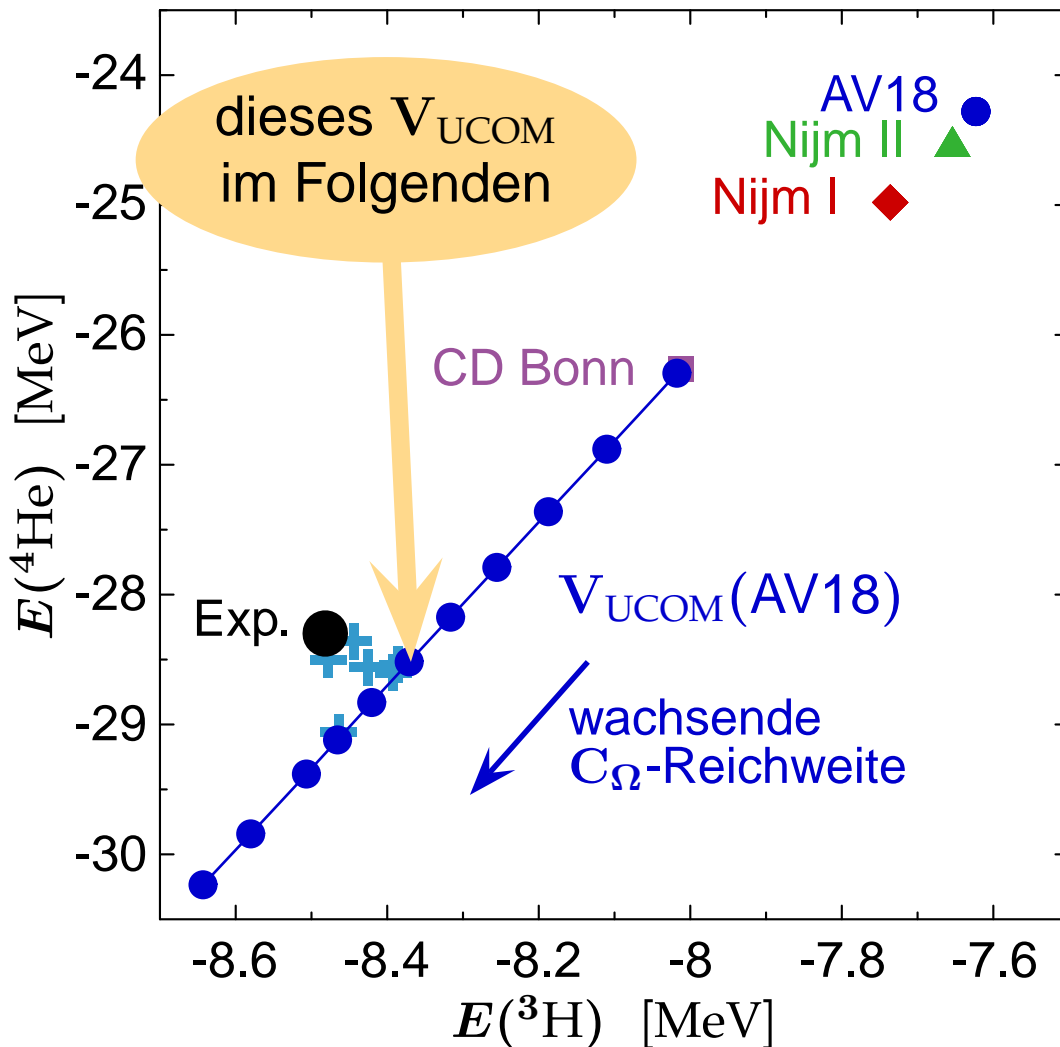


Tjon-Linie und Korrelatorreichweite



- **Tjon-Linie**: $E(^4\text{He})$ vs. $E(^3\text{H})$ für streuphasenäquivalente NN-Wechselwirkungen

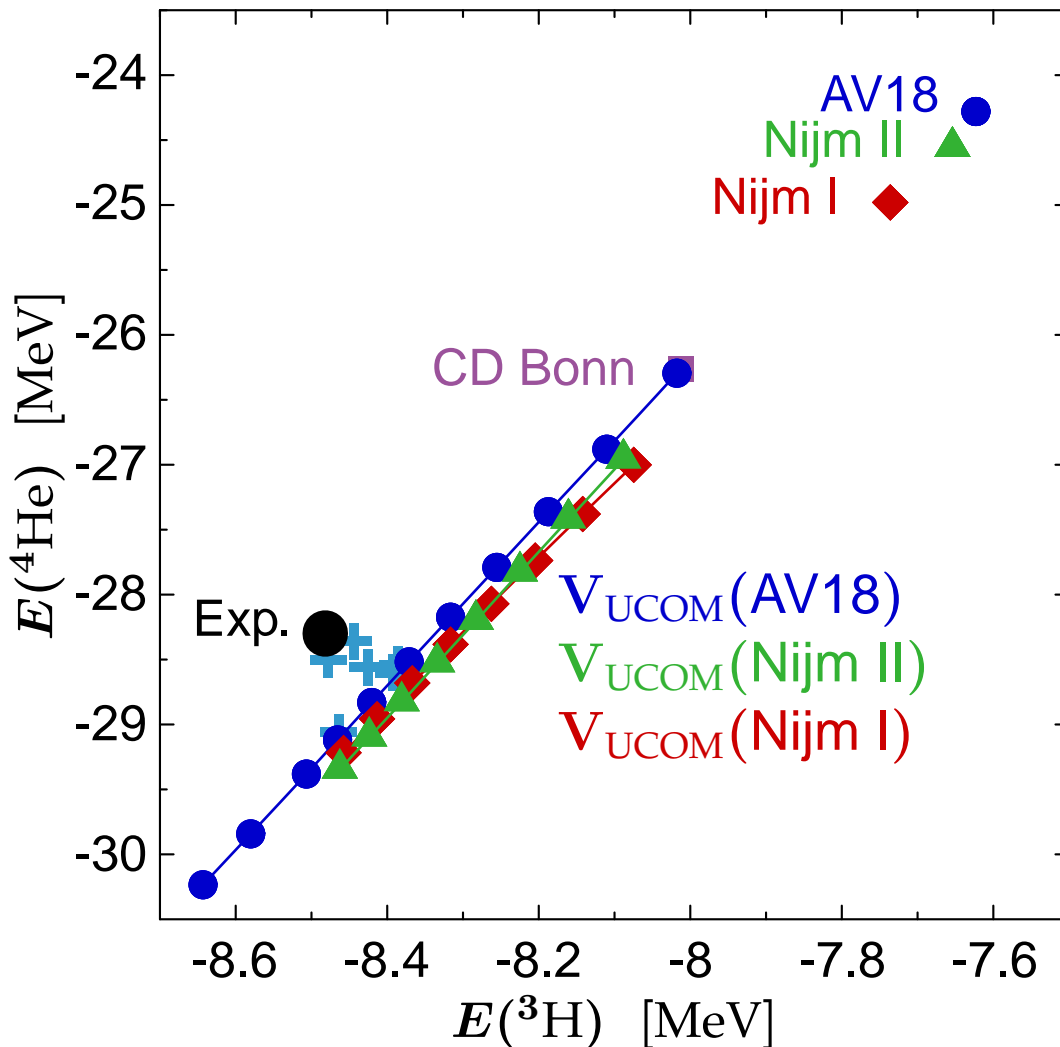
Tjon-Linie und Korrelatormitteleinstellung



- **Tjon-Linie:** $E(^4\text{He})$ vs. $E(^3\text{H})$ für streuphasenäquivalente NN-Wechselwirkungen
- Änderung der C_Ω -Reichweite erzeugt Verschiebung entlang der Tjon-Linie

minimiere Netto-Dreiteilchenkraft durch Wahl eines Korrelators nahe der exp. Energien

Tjon-Linie und Korrelatormittelwerte

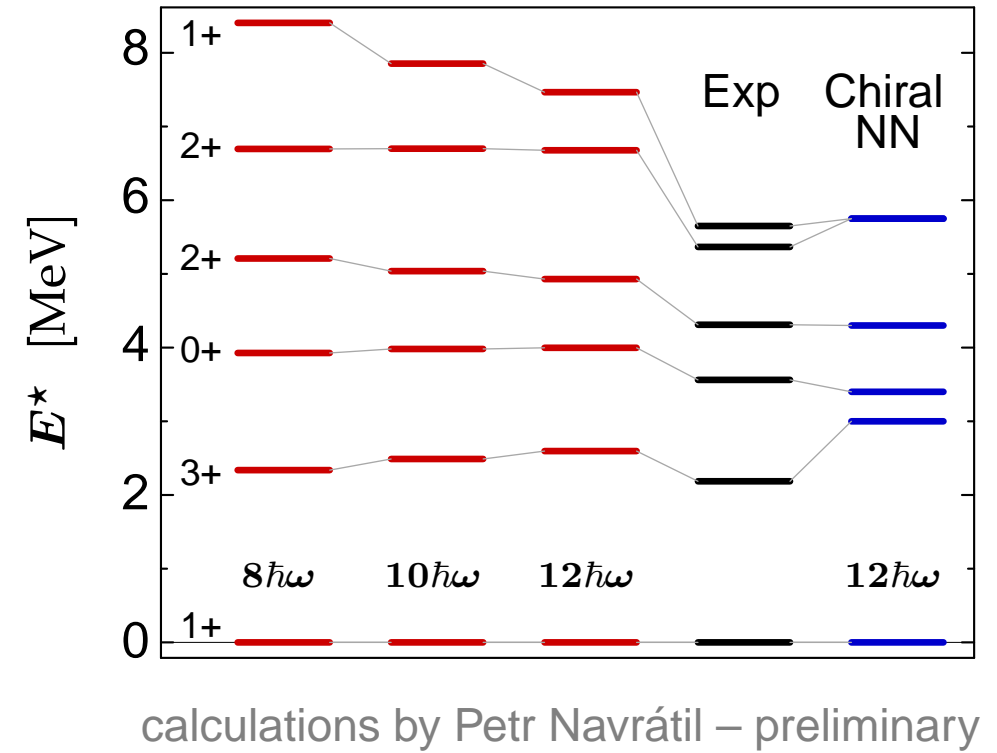
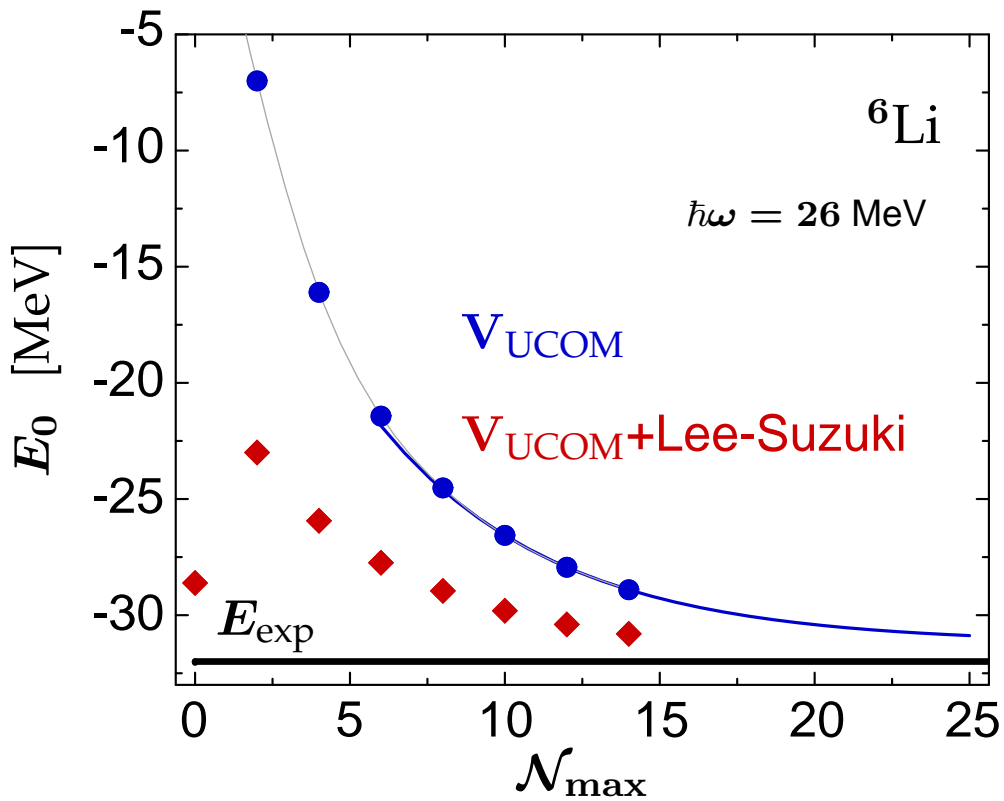


- **Tjon-Linie:** $E(^4\text{He})$ vs. $E(^3\text{H})$ für streuphasenäquivalente NN-Wechselwirkungen
- Änderung der C_Ω -Reichweite erzeugt Verschiebung entlang der Tjon-Linie

minimiere Netto-Dreiteilchenkraft
durch Wahl eines
Korrelators nahe der
exp. Energien

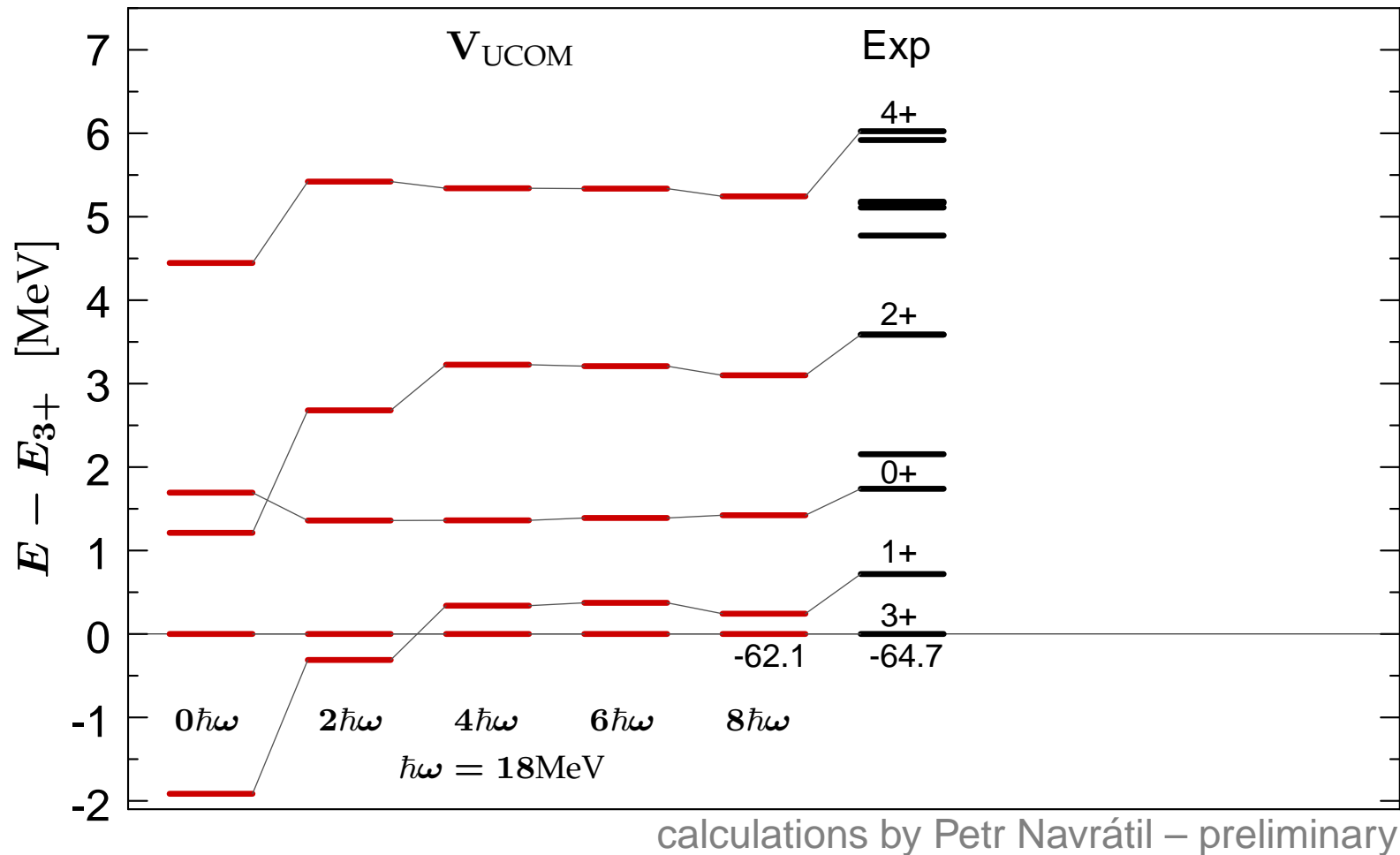
^6Li : NCSM für p-Schalenkerne

- No-Core-Schalenmodellrechnungen in der p-Schale derzeit in Arbeit
(ohne und mit Lee-Suzuki-Transformation)

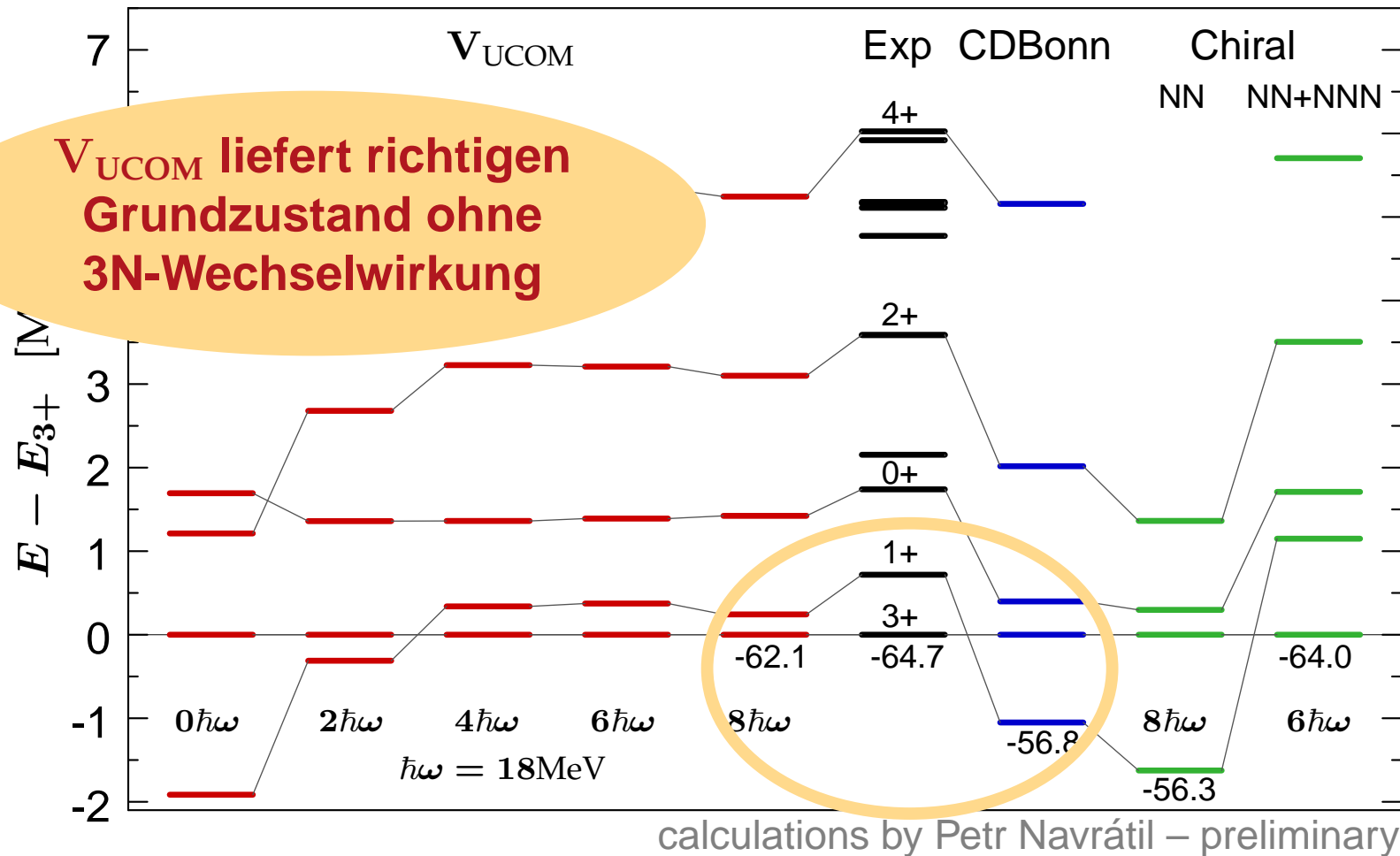


calculations by Petr Navrátil – preliminary

^{10}B : Benchmark für V_{UCOM}



^{10}B : Benchmark für V_{UCOM}

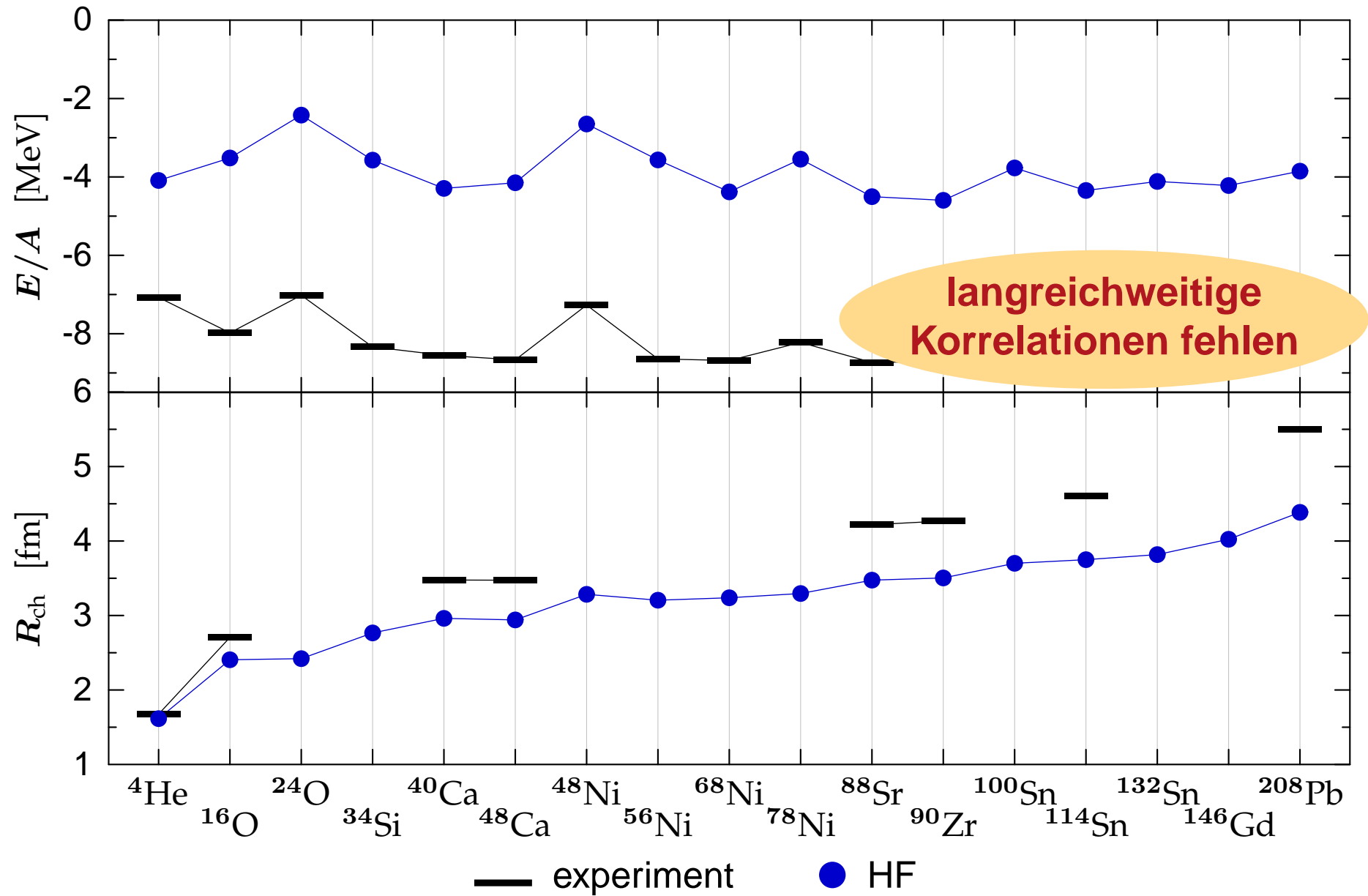


Anwendung II:
Hartree-Fock etc.

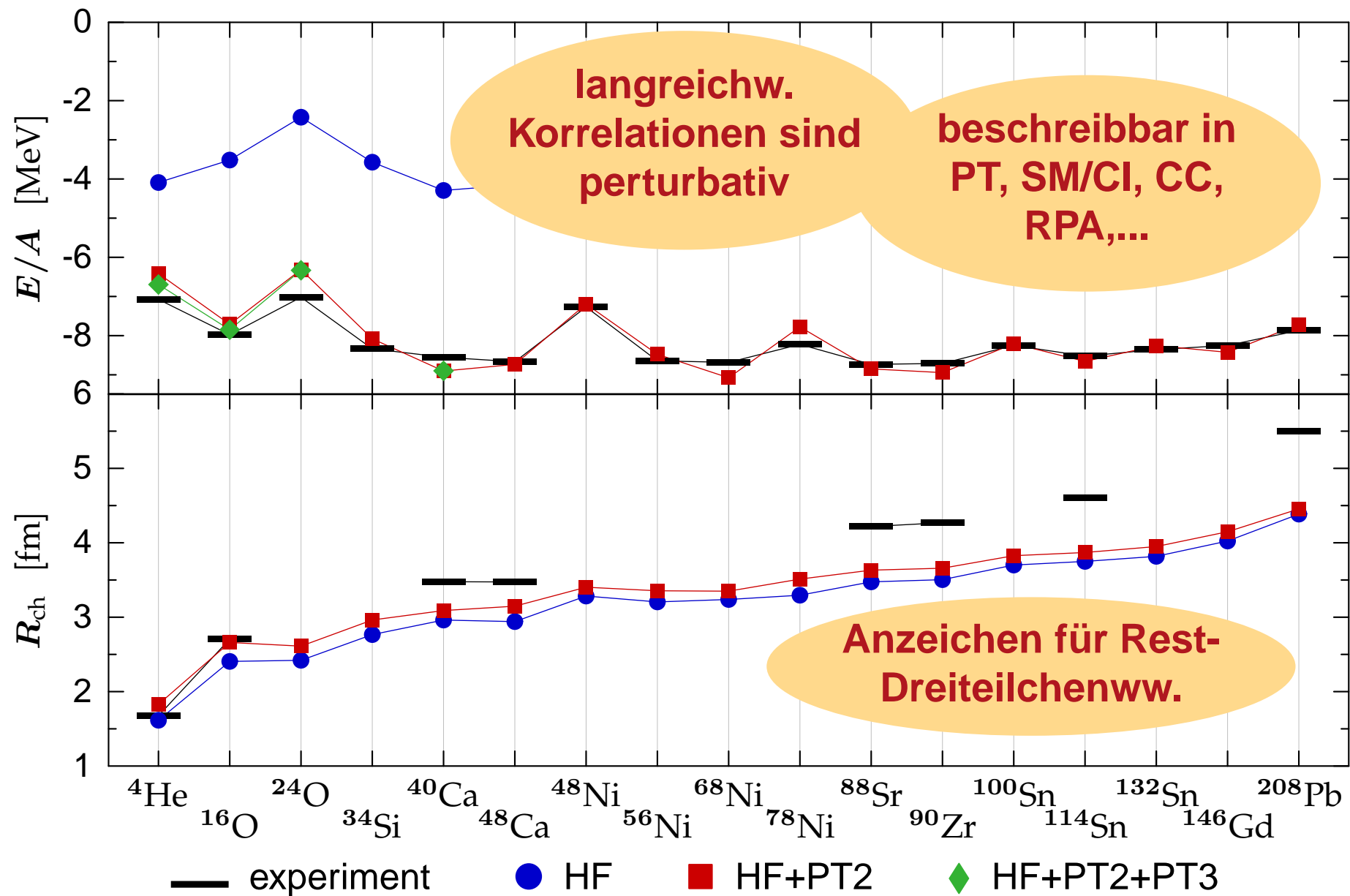
Standard Hartree-Fock
+
Matrixelemente der korrelierten
Wechselwirkung V_{UCOM}

- Vielteilchenzustand ist **einzelne Slaterdeterminante** von Ein- teilchenzuständen dargestellt in Oszillatorbasis
- HF-Zustände können **keinerlei Korrelationen** beschreiben
- Ausgangspunkt für **verbesserte Vielteilchenrechnungen**: MB- PT, RPA, SM/CI, CC, ...

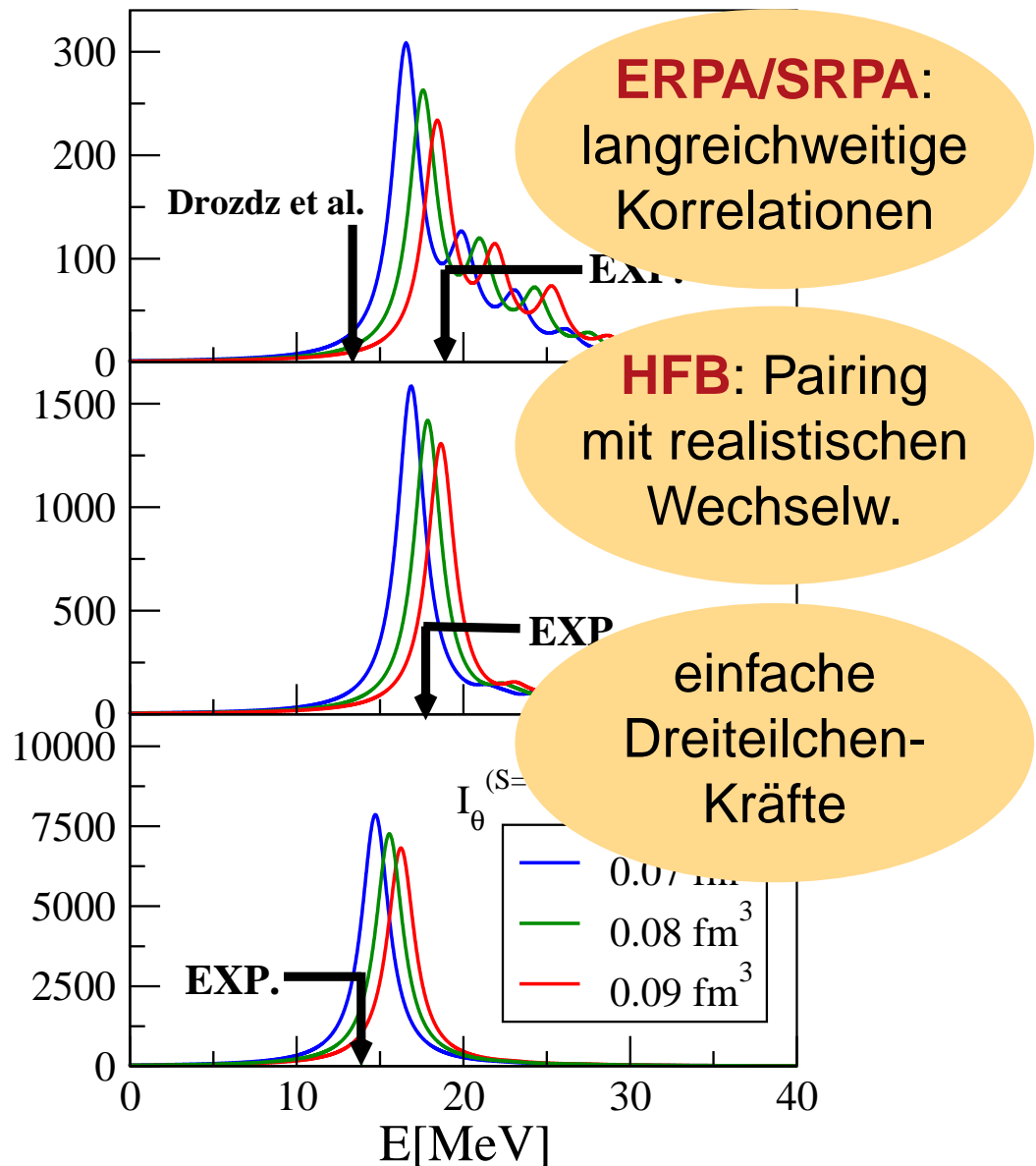
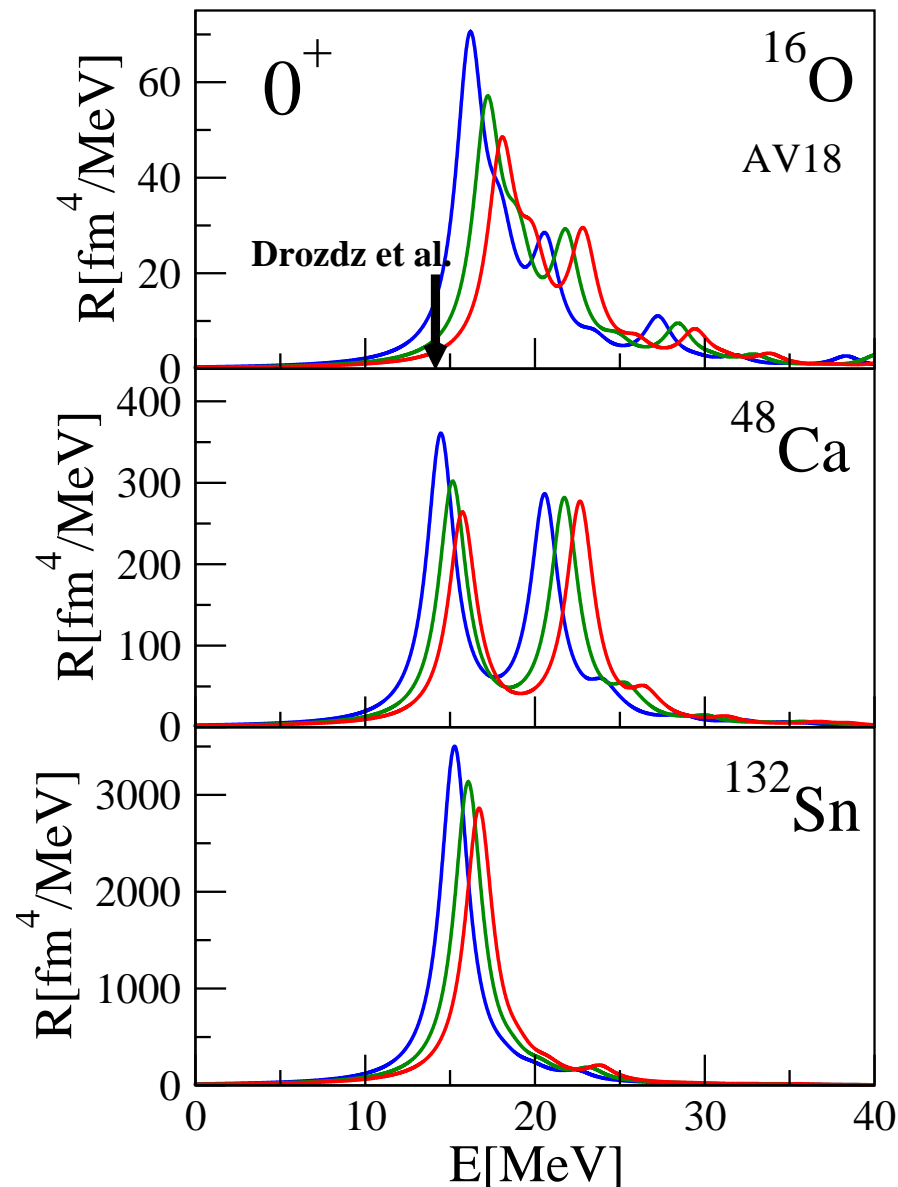
Hartree-Fock mit V_{UCOM}



Störungstheorie mit VUCOM



Ausblick: UCOM + RPA



Anwendung III:

Fermionische Molekulardynamik

UCOM + FMD

Gaußförmige Einteilchenzust.

$$|q\rangle = \sum_{\nu=1}^n c_\nu |a_\nu, \vec{b}_\nu\rangle \otimes |\chi_\nu\rangle \otimes |m_t\rangle$$

$$\langle \vec{x} | a_\nu, \vec{b}_\nu \rangle = \exp \left[- \frac{(\vec{x} - \vec{b}_\nu)^2}{2 a_\nu} \right]$$

a_ν : komplex Breite χ_ν : Spinorientierung
 \vec{b}_ν : mittl. Ort & Impuls

Slaterdeterminante

$$|Q\rangle = \mathcal{A} (|q_1\rangle \otimes |q_2\rangle \otimes \cdots \otimes |q_A\rangle)$$

Korrelierter Hamiltonian

$$\tilde{H} = T + V_{UCOM} + \delta V_{c+p+ls}$$

Variation

$$\frac{\langle Q | \tilde{H} - T_{cm} | Q \rangle}{\langle Q | Q \rangle} \rightarrow \min$$

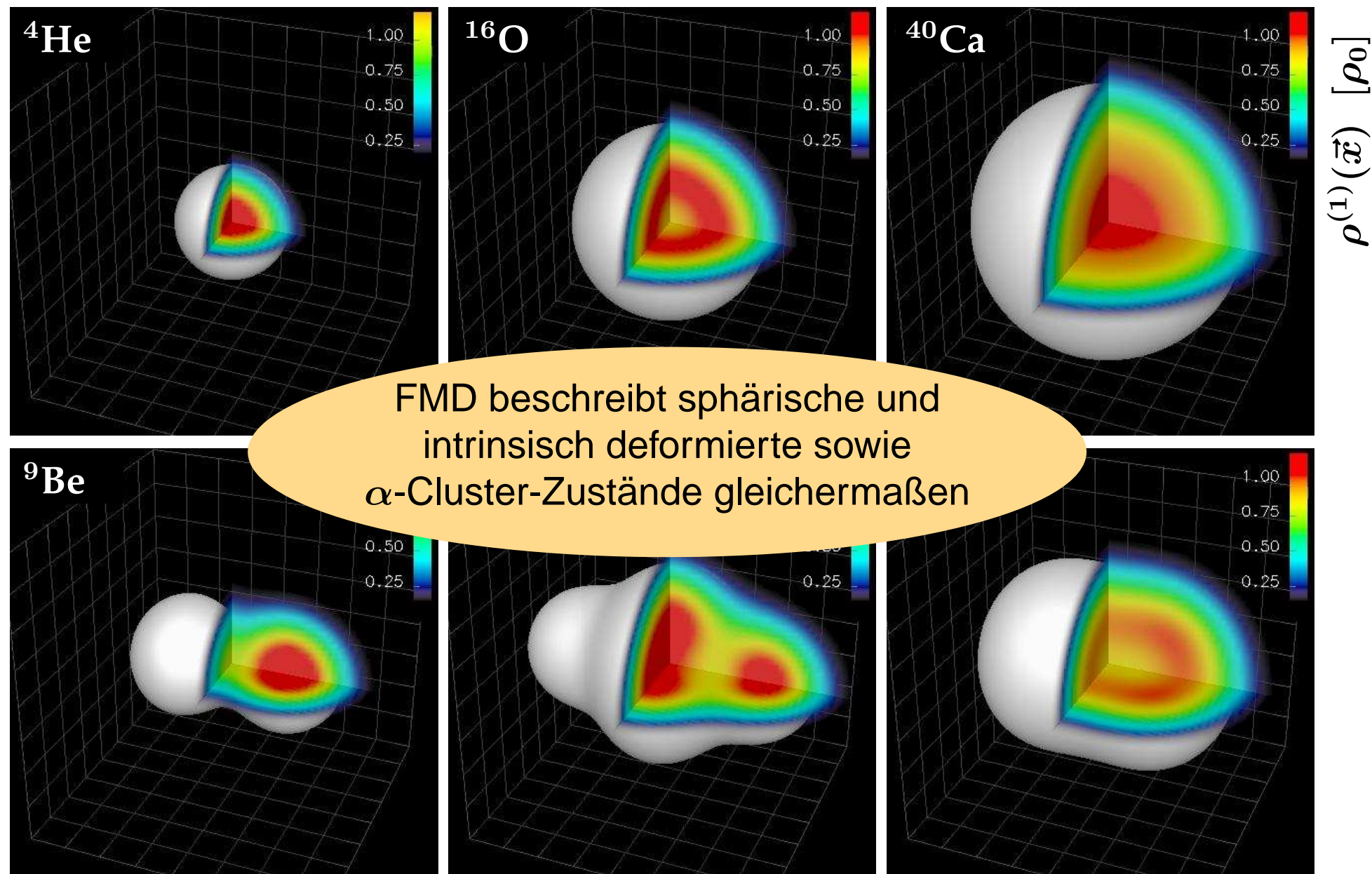
Projektion

Wiederherstellung gebrochener Symmetrien
(PAV / VAP)

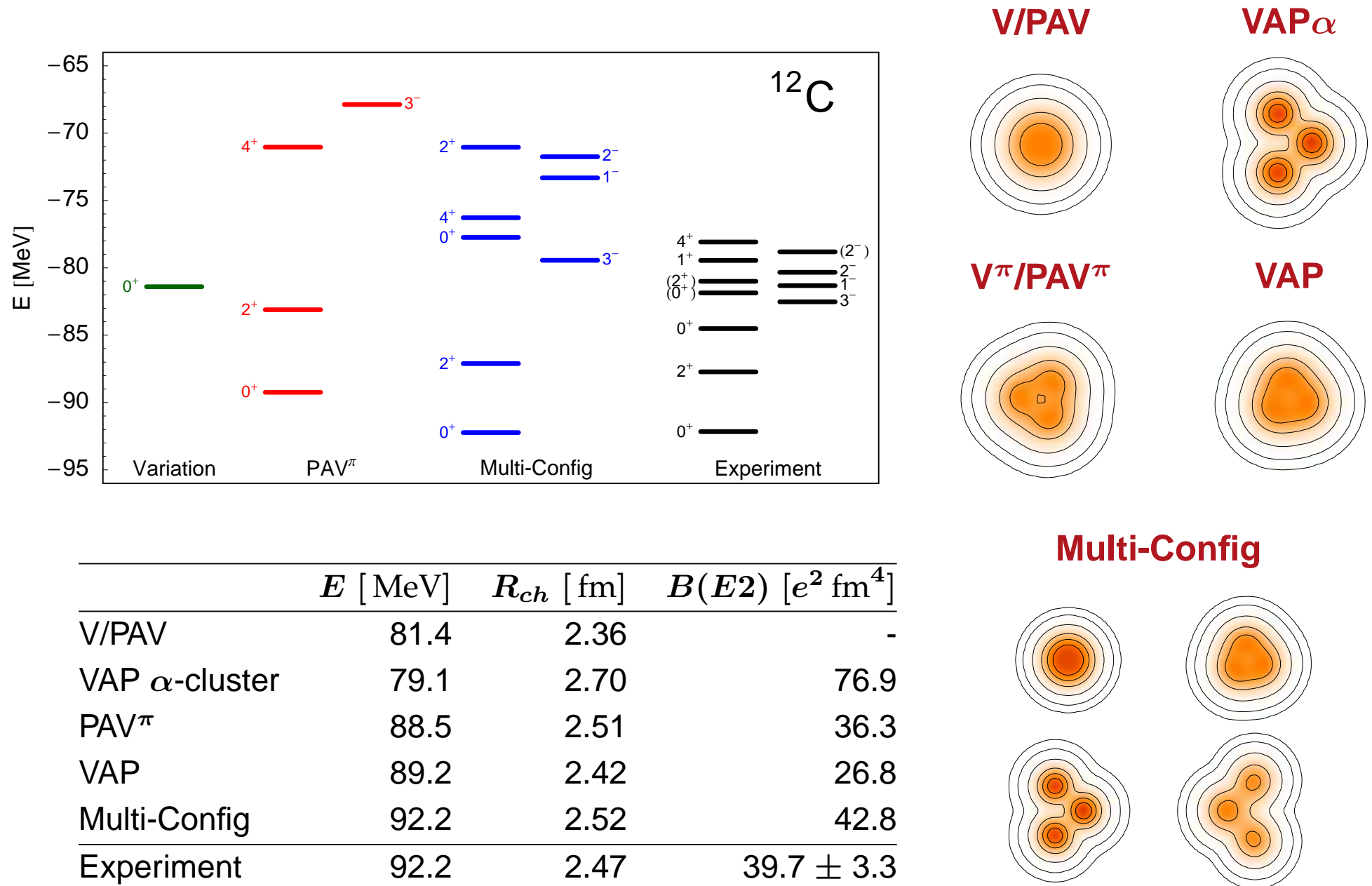
Multikonfig.

Mischung intrinsischer Konfigurationen
(GCM)

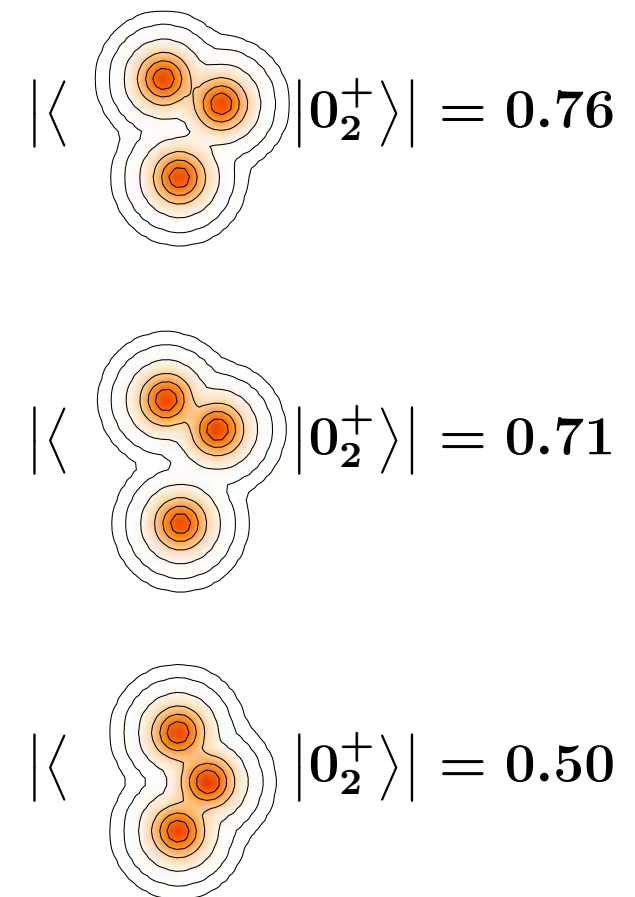
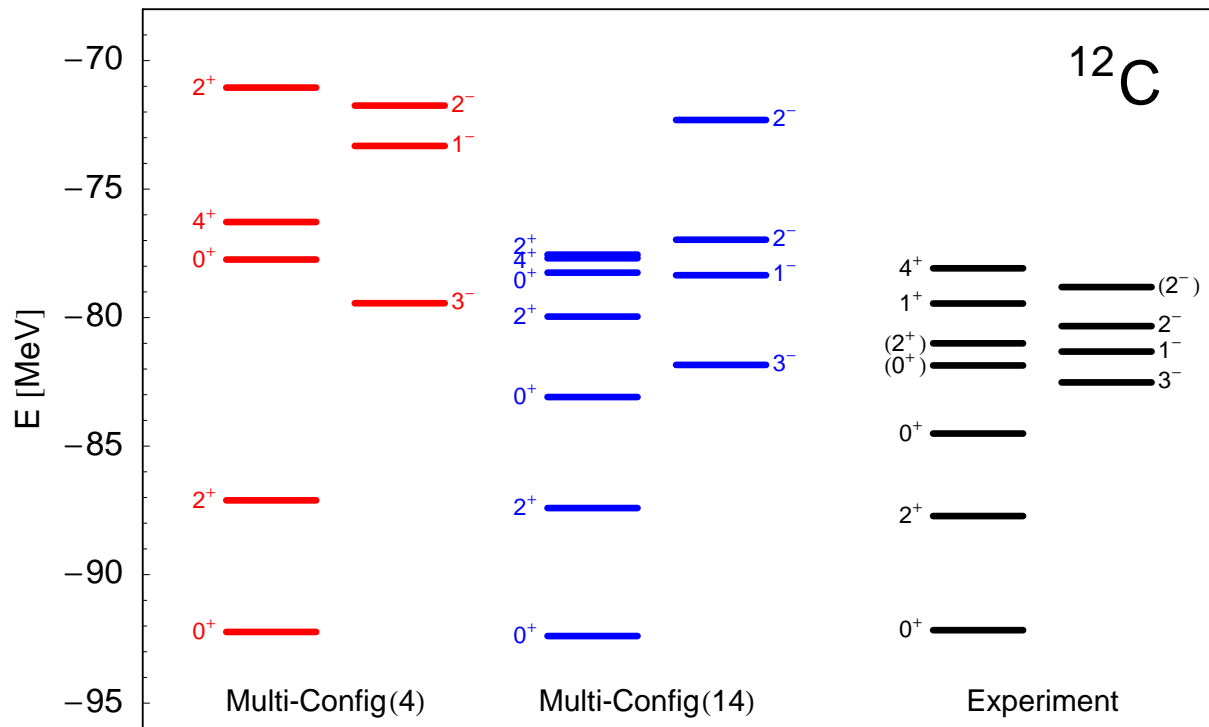
Intrinsische Einteilchendichten



Struktur von ^{12}C

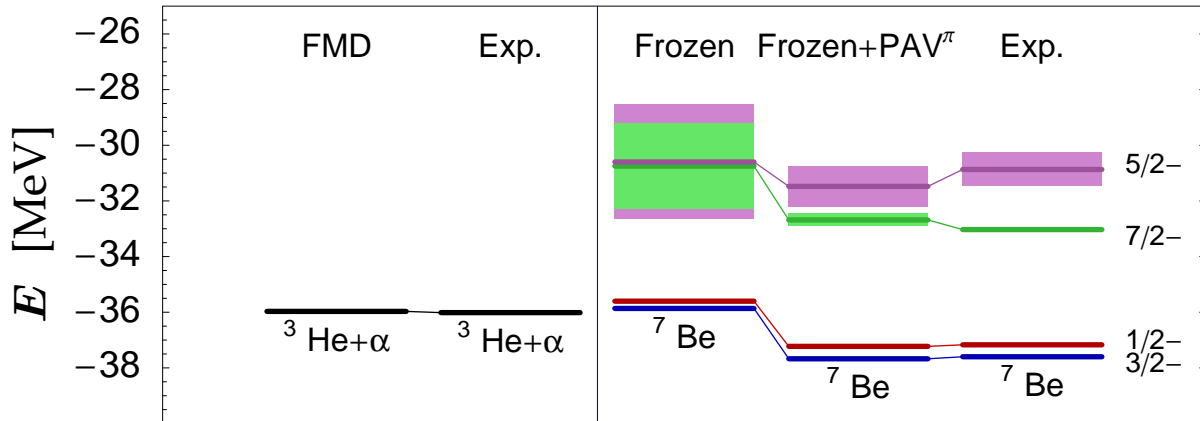


Struktur von ^{12}C — Hoyle-Zustand

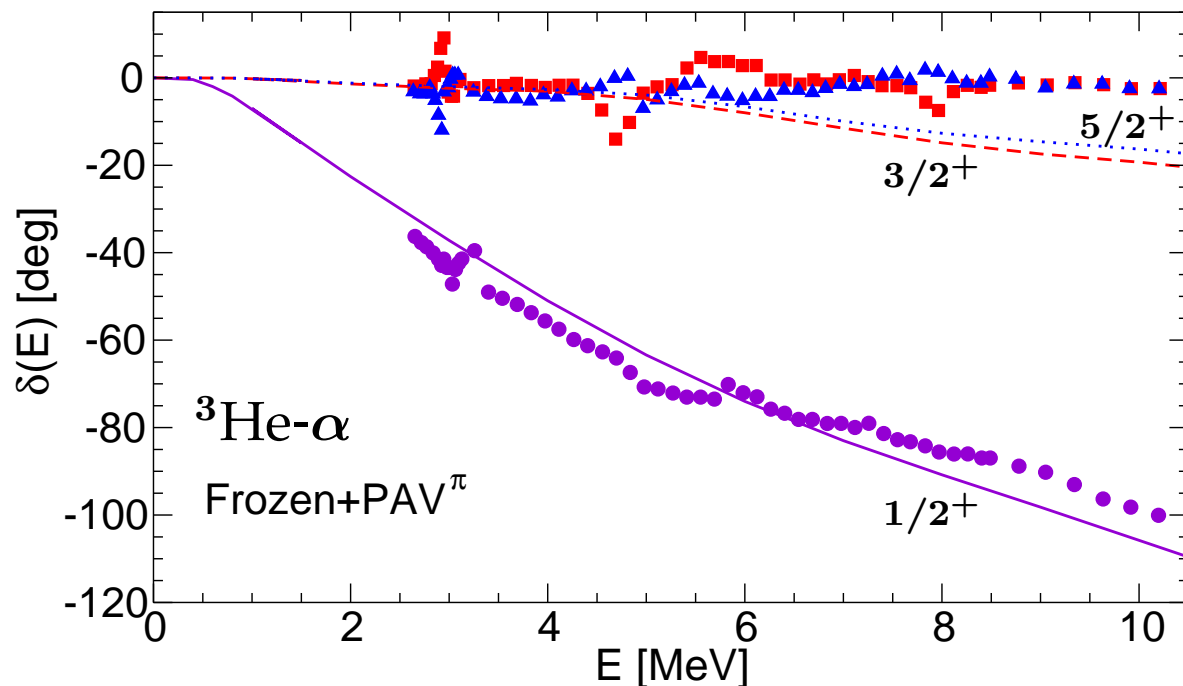


	Multi-Config	Experiment
E [MeV]	92.4	92.2
R_{ch} [fm]	2.52	2.47
$B(E2, 0_1^+ \rightarrow 2_1^+) [e^2 \text{ fm}^4]$	42.9	39.7 ± 3.3
$M(E0, 0_1^+ \rightarrow 0_2^+) [\text{fm}^2]$	5.67	5.5 ± 0.2

Ausblick: Resonanzen & Streuung in FMD



- kollektive Koordinatendarstellung als Werkzeug zur Beschreibung von Kontinuumszuständen in der FMD



erste Schritte in
Richtung einer
konsistenten
Beschreibung von
**Struktur und
Reaktionen**

Zusammenfassung

■ **Moderne Effektive Wechselwirkungen**

- streuphasenerhaltende Anpassung realistischer NN-Potentiale an einfache Vielteilchenräume

■ **Unitary Correlation Operator Method (UCOM)**

- explizite Beschreibung kurzreichw. Zentral- und Tensorkorrelationen
- universelle streuphasenäquiv. korrelierte Wechselwirkung V_{UCOM}

■ **Innovative Vielteilchenmethoden**

- No-Core Schalenmodell
- Hartree-Fock, MBPT, SM/CI, CC, RPA, ERPA, SRPA,...
- Fermionische Molekulardynamik

Epilogue

■ thanks to my group and my collaborators

- P. Hefeld, H. Hergert, N. Paar, P. Papakonstantinou, A. Zapp
Institut für Kernphysik, TU Darmstadt
- T. Neff
NSCL, Michigan State University
- H. Feldmeier
Gesellschaft für Schwerionenforschung (GSI)



supported by the DFG through SFB 634
“Nuclear Structure, Nuclear Astrophysics and
Fundamental Experiments...”